

ระบบรักษาความปลอดภัย
SECURITY SYSTEM



ปริญญานิพนธ์นี้เป็นส่วนหนึ่งของการศึกษาตามหลักสูตรปริญญาวิศวกรรมศาสตรบัณฑิต
สาขาวิชาวิศวกรรมโทรคมนาคม
สถาบันเทคโนโลยีพระจอมเกล้าเจ้าคุณทหารลาดกระบัง
ปีการศึกษา 2542

เลขหม.....
เลขทะเบียน..... 37112
วัน, เดือน, ปี - 4 ก.ย. 2543

เอกสารนี้เป็นเอกสารที่สงวนไว้สำหรับการใช้งานเพื่อการศึกษาเท่านั้น ไม่อนุญาตให้นำไปใช้ประโยชน์ด้านการค้า
ไม่ว่ากรณีใดๆ ทั้งสิ้น อีกทั้งห้ามมิให้ตัดแปลงเนื้อหาและต้องอ้างอิงถึงเจ้าของเอกสารทุกครั้งที่มีการนำไปใช้

ระบบรักษาความปลอดภัย
SECURITY SYSTEM



ปริญญานิพนธ์นี้เป็นส่วนหนึ่งของการศึกษาตามหลักสูตรปริญญาวิศวกรรมศาสตรบัณฑิต
สาขาวิชาวิศวกรรมโทรคมนาคม
สถาบันเทคโนโลยีพระจอมเกล้าเจ้าคุณทหารลาดกระบัง
ปีการศึกษา 2542

เอกสารนี้เป็นเอกสารที่สงวนไว้สำหรับการใช้งานเพื่อการศึกษาเท่านั้น ไม่อนุญาตให้นำไปใช้ประโยชน์ด้านการค้า
ไม่ว่ากรณีใดๆ ทั้งสิ้น อีกทั้งห้ามมิให้ตัดแปลงเนื้อหาและต้องอ้างอิงถึงเจ้าของเอกสารทุกครั้งที่มีการนำไปใช้

ปริญญาานิพนธ์ปีการศึกษา 2542

ภาควิชาวิศวกรรมโทรคมนาคม

คณะวิศวกรรมศาสตร์ สถาบันเทคโนโลยีพระจอมเกล้าเจ้าคุณทหารลาดกระบัง

เรื่อง ระบบรักษาความปลอดภัย

SECURITY SYSTEM

ผู้จัดทำ

1.นางสาวนิรมล จินากุล 39014266

2.นางสาวปรีษาภรณ์ กนกวุฒิ 39014314



อาจารย์ที่ปรึกษา

(อาจารย์สมเกียรติ ฤกษ์วีระชัย)



เอกสารนี้เป็นเอกสารที่สงวนไว้สำหรับการใช้งานเพื่อการศึกษาเท่านั้น ไม่อนุญาตให้นำไปใช้ประโยชน์ด้านการค้า
ไม่ว่ากรณีใดๆ ทั้งสิ้น อีกทั้งห้ามมิให้ตัดแปลงเนื้อหาและต้องอ้างอิงถึงเจ้าของเอกสารทุกครั้งที่มีการนำไปใช้

ระบบรักษาความปลอดภัย

SECURITY SYSTEM

โดย นางสาวนิรมล จินากุล 39014266

นางสาวปรียาภรณ์ กนกวุฒิ 39014314

อาจารย์ที่ปรึกษา อาจารย์สมเกียรติ ฤกษ์วีระบุญ

บทคัดย่อ

ระบบรักษาความปลอดภัยนี้ทำงานโดยอาศัยการตรวจจับความเคลื่อนไหว เช่นตรวจจับผู้บุกรุก แล้วส่งสัญญาณออกไปจับวงจรกำเนิดเสียง ให้ส่งสัญญาณเสียงเพื่อเป็นการเตือนภัย แล้วนำสัญญาณที่ตรวจจับได้เข้าไปเข้ารหัสแล้วมอดูเลตแบบแอมพลิฟิเคชันไปส่งทางเครื่องรับจะดีเทคสัญญาณ ถอดรหัสแล้วแสดงผลผ่านทางคอมพิวเตอร์ เพื่อให้ทราบถึงตำแหน่งที่ตรวจจับได้อย่างชัดเจน และสามารถควบคุมสถานะการณ์ได้เป็นอย่างดี

ABSTRACT

The Security System in this project is a moving detector. When someone break in, the detector will send a signal to the noise generator which produces a warning siren and will send a signal to the encoder which encoded signal and sent to receiver. When receiver receives the signal, the signal will be decoded and sent to the computer to show the position where was broken in.

เอกสารนี้เป็นเอกสารที่สงวนไว้สำหรับการใช้งานเพื่อการศึกษาเท่านั้น ไม่อนุญาตให้นำไปใช้ประโยชน์ด้านการค้า
ไม่ว่ากรณีใดๆ ทั้งสิ้น อีกทั้งห้ามมิให้ตัดแปลงเนื้อหาและต้องอ้างอิงถึงเจ้าของเอกสารทุกครั้งที่มีการนำไปใช้

สารบัญ

เรื่อง	หน้า
บทที่ 1 บทนำ	1
บทที่ 2 ทฤษฎีและหลักการ	2
2.1 วงจรออสซิลเลเตอร์	2
วงจรรออสซิลเลเตอร์ใช้ผลึกควอตซ์หรือคริสตอล	5
วงจร LC ออสซิลเลเตอร์	8
2.2 วงจรขยาย	10
วงจรขยายแบบกลับเฟส	10
วงจรขยายแบบไม่กลับเฟส	12
2.3 หลักการทำงานของโคมิ่งพื้นฐาน	13
2.4 ทฤษฎีของไอซี MC145026	14
2.5 ทฤษฎีของไอซี MC145027	15
2.6 การมอดูเลตสัญญาณดิจิทัล	17
แอมพลิฟิเคชัน	18
พีแอมป์	18
เฟสชิฟต์	19
2.7 พื้นฐานการสื่อสารข้อมูล	19
2.8 พื้นฐานการทำงานของเอ/ดี คอนเวอร์เตอร์ (A/D converter)	21
2.9 โครงสร้างภายในของ MCS-51 และการเขียนโปรแกรมเริ่มต้น	25
บทที่ 3 การคำนวณและการสร้าง	27
3.1 การสร้างวงจรทางภาคส่ง	27
3.2 การสร้างวงจรทางภาครับ	27
3.3 วงจรดีเทคเตอร์	28
3.4 วงจรขยาย	28
3.5 วงจรโคมิ่งและดีเลย์	30
3.6 วงจรกำเนิดเสียง	31
3.7 วงจรส่งสัญญาณ	31
3.8 วงจรรับสัญญาณ	33
3.9 วงจรถอดรหัส	34
3.10 วงจรอินเตอร์เฟส	35
3.11 การออกแบบทางซอฟต์แวร์	38

เอกสารนี้เป็นเอกสารที่สงวนไว้สำหรับการใช้งานเพื่อการศึกษาเท่านั้น ไม่อนุญาตให้นำไปใช้ประโยชน์ด้านการค้า
ไม่ว่ากรณีใดๆ ทั้งสิ้น อีกทั้งห้ามมิให้ตัดแปลงเนื้อหาและต้องอ้างอิงถึงเจ้าของเอกสารทุกครั้งที่มีการนำไปใช้

เรื่อง	หน้า
บทที่ 4 การทดลองและผลการทดลอง	40
4.1 ผลการทดลองของวงจรดีเทคเตอร์	40
4.2 ผลการทดลองของวงจรโคมิ่งและดีเลย์	40
4.3 ผลการทดลองของวงจรส่งสัญญาณไร้สายตัวที่ 1	41
4.4 ผลการทดลองของวงจรส่งสัญญาณไร้สายตัวที่ 2	42
4.5 ผลการทดลองของวงจรรับสัญญาณไร้สาย	43
4.6 ผลการทดลองของวงจรอครหัส	44
4.7 ผลการทดลองของวงจรอินเตอร์เฟส	47
4.8 ผลการทดลองจาก โปรแกรมวิซวลเบสิก ในกรณีที่ไม่สามารถตรวจจับการเคลื่อนไหวได้	48
4.9 ผลการทดลองจาก โปรแกรมวิซวลเบสิก ในกรณีที่สามารถตรวจจับได้จากเครื่องส่งตัวที่ 1	48
4.10 ผลการทดลองจาก โปรแกรมวิซวลเบสิก ในกรณีที่สามารถตรวจจับได้จากเครื่องส่งตัวที่ 2	49
บทที่ 5 บทวิจารณ์และบทสรุป หนังสืออ้างอิง	50

สารบัญรูปภาพ

บทที่ 2 ทฤษฎีและหลักการ	หน้า
รูปที่ 2.1 การออสซิลเลตทางกล	3
รูปที่ 2.2 การเกิดออสซิลเลตทางคลื่นวงจรไฟฟ้า	3
รูปที่ 2.3 วงจรออสซิลเลเตอร์แบบเลือกความถี่จากเกท	4
รูปที่ 2.4 การออสซิลเลตในช่วงเริ่มแรกและการออสซิลเลตแบบต่อเนื่อง	5
รูปที่ 2.5 วงจรสมมูลของผลึกคริสตอล	5
รูปที่ 2.6 ผลึกควอ์ตและการตัดผลึก	6
รูปที่ 2.7 วงจร LC ออสซิลเลตที่ความถี่รีโซแนนซ์	9
รูปที่ 2.8 วงจรขยายแบบกลับเฟส	11
รูปที่ 2.9 วงจรขยายแบบไม่กลับเฟส	12
รูปที่ 2.10 วงจร RC แบบง่าย	13
รูปที่ 2.11 วงจรโทมเมอร์และเวฟฟอร์ม	14
รูปที่ 2.12 ขาต่างๆของไอซี MC145026	14
รูปที่ 2.13 ขาต่างๆของไอซี MC 145027	15
รูปที่ 2.14 รูปสัญญาณเบสแบนด์คิตจิตอล	17
รูปที่ 2.15 แอมพลิฟิเคชันพัลส์อิ่ง	18
รูปที่ 2.16 ฟรีควเอนซีชัพพัลส์อิ่ง	18
รูปที่ 2.17 เฟสชัพพัลส์อิ่ง	19
รูปที่ 2.18 การส่งข้อมูลที่ใช้สัญญาณนาฬิกาตัวเดียวกัน	20
รูปที่ 2.19 การเชื่อมต่อระหว่างตัวส่งกับตัวรับ	20
รูปที่ 2.20 องค์ประกอบของเฟรม	20
รูปที่ 2.21 การเลื่อนเฟสของสัญญาณนาฬิกา	21
รูปที่ 2.22 กราฟคุณสมบัติของเอดีซีขนาด 3 บิต	21
รูปที่ 2.23 บล็อกไดอะแกรมของวงจรเอดีซีขั้นบันไดหรือตามรอย	23
รูปที่ 2.24 รูปคลื่นของวงจรเอดีซีขั้นบันได	23
รูปที่ 2.25 รูปคลื่นของวงจรเอดีซีตามรอย	24
รูปที่ 2.26 บล็อกไดอะแกรมของวงจรเอดีซีที่ใช้การประมาณค่าโดยลำดับ	24
รูปที่ 2.27 รูปคลื่น	24
บทที่ 3 การคำนวณและการสร้าง	
รูปที่ 3.1 บล็อกไดอะแกรมของภาคส่ง	27
รูปที่ 3.2 บล็อกไดอะแกรมของภาครับและแสดงผล	27

เอกสารนี้เป็นเอกสารที่สงวนไว้สำหรับการใช้งานเพื่อการศึกษาเท่านั้น ไม่อนุญาตให้นำไปใช้ประโยชน์ด้านการค้าไม่ว่ากรณีใดๆ ทั้งสิ้น อีกทั้งห้ามมิให้ตัดแปลงเนื้อหาและต้องอ้างอิงถึงเจ้าของเอกสารทุกครั้งที่มีการนำไปใช้

รูปที่ 3.3	วงจรดีเทคเตอร์	28
รูปที่ 3.4	วงจรขยาย	28
รูปที่ 3.5	วงจร ไทม์มิ่งและดีเลย์	30
รูปที่ 3.6	วงจรกำเนิดเสียง	31
รูปที่ 3.7	วงจรส่งสัญญาณตัวที่ 1	31
รูปที่ 3.8	วงจรส่งสัญญาณตัวที่ 2	33
รูปที่ 3.9	วงจรรับสัญญาณ	34
รูปที่ 3.10	วงจรออคคัส	35
รูปที่ 3.11	วงจรอินเตอร์เฟส	37
รูปที่ 3.12	โพลีชาร์คของการทำงาน	38
รูปที่ 3.13	อุปกรณ์รวมของวงจรภาคส่ง	39
รูปที่ 3.14	อุปกรณ์รวมของวงจรภาครับ	39
บทที่ 4	การทดลองและผลการทดลอง	
รูปที่ 4.1	ความถี่ที่กำเนิดจากวงจรถูเอชเอฟ ออสซิลเลเตอร์	40
รูปที่ 4.2	ช่วงเวลาการเปลี่ยนสถานะจาก low เป็น high จากวงจร ไทม์มิ่ง เมื่อวงจรดีเทคเตอร์สามารถตรวจจับสัญญาณได้	41
รูปที่ 4.3	ผลการทดลองจากส่วนมอดูเลตตัวที่ 1	41
รูปที่ 4.4	สเปกตรัมของคลื่นพาห้ความถี่ 389 เมกะเฮิรตซ์ ของวงจรส่งตัวที่ 1	42
รูปที่ 4.5	ผลการทดลองจากส่วนมอดูเลตตัวที่ 2	42
รูปที่ 4.6	สเปกตรัมของคลื่นพาห้ความถี่ 389 เมกะเฮิรตซ์ ของวงจรส่งตัวที่ 2	43
รูปที่ 4.7	ผลการทดลองจากวงจรรับสัญญาณจากเครื่องส่งที่ 1	43
รูปที่ 4.8	ผลการทดลองจากวงจรรับสัญญาณจากเครื่องส่งที่ 2	44
รูปที่ 4.9	ผลการทดลองจากวงจรออคคัสตัวที่ 1	45
รูปที่ 4.10	ผลการทดลองจากวงจรออคคัสตัวที่ 2	45
รูปที่ 4.11	ผลการทดลองจากวงจรแปลงสัญญาณลงตัวที่ 1	46
รูปที่ 4.12	ผลการทดลองจากวงจรแปลงสัญญาณลงตัวที่ 2	46
รูปที่ 4.13	สัญญาณดิจิตอลจากวงจรอินเตอร์เฟสตัวที่ 1	47
รูปที่ 4.14	สัญญาณดิจิตอลจากวงจรอินเตอร์เฟสตัวที่ 2	47
รูปที่ 4.15	ผลการทดลองจาก โปรแกรมวิซวลเบสิก ในกรณีที่ไม่สามารถตรวจจับการเคลื่อนไหวได้	48
รูปที่ 4.16	ผลการทดลองจาก โปรแกรมวิซวลเบสิก ในกรณีที่สามารถตรวจจับได้จากเครื่องส่งตัวที่ 1	48
รูปที่ 4.17	ผลการทดลองจาก โปรแกรมวิซวลเบสิก ในกรณีที่สามารถตรวจจับได้จากเครื่องส่งตัวที่ 2	49

เอกสารนี้เป็นเอกสารที่สงวนไว้สำหรับการใช้งานเพื่อการศึกษาเท่านั้น ไม่อนุญาตให้นำไปใช้ประโยชน์ด้านการค้า
ไม่ว่ากรณีใดๆ ทั้งสิ้น อีกทั้งห้ามมิให้ตัดแปลงเนื้อหาและต้องอ้างอิงถึงเจ้าของเอกสารทุกครั้งที่มีการนำไปใช้

สารบัญตาราง

บทที่ 2 ทฤษฎีและหลักการ

ตารางที่ 2.1	วงจรรอสซิลเลเตอร์แบบคลื่นรูปไซน์	2
ตารางที่ 2.2	ค่า R/C (ค่า R และ C มีค่าผิดพลาด 5%)	16
ตารางที่ 2.3	เปรียบเทียบวิธีการมอดูเลตแบบดิจิทัลและอนาลอก	17
ตารางที่ 2.4	คุณสมบัติของไมโครคอนโทรลเลอร์แต่ละเบอร์ในตระกูล	25

MCS-51



เอกสารนี้เป็นเอกสารที่สงวนไว้สำหรับการใช้งานเพื่อการศึกษาเท่านั้น ไม่อนุญาตให้นำไปใช้ประโยชน์ด้านการค้า
ไม่ว่ากรณีใดๆ ทั้งสิ้น อีกทั้งห้ามมิให้ตัดแปลงเนื้อหาและต้องอ้างอิงถึงเจ้าของเอกสารทุกครั้งที่มีการนำไปใช้

บทที่ 1

บทนำ

ในปัจจุบันนี้อาคารและที่พักส่วนใหญ่จะนำอุปกรณ์เตือนภัยเข้ามาใช้งาน เพื่อตรวจจับเหตุร้ายที่เกิดขึ้นภายในตัวอาคาร ซึ่งจะมีการนำคอมพิวเตอร์เข้ามาควบคุม เพื่อให้สามารถระบุตำแหน่งที่เกิดสิ่งผิดปกติขึ้นได้ ทำให้ง่ายต่อการแก้ปัญหา

ในโครงการชิ้นนี้ทำขึ้นเพื่อเป็นประโยชน์ทางการเตือนภัย และแจ้งข่าวสารเมื่อมีสิ่งผิดปกติเกิดขึ้นโดยผ่านทางคอมพิวเตอร์ เช่นตรวจจับการเคลื่อนไหวในกรณีมีผู้บุกรุก เพื่อไม่ให้เกิดความเสียหายกับทรัพย์สินของเรา นอกจากนี้ยังได้มีการส่งสัญญาณเสียงเตือนภัยอีกด้วย



เอกสารนี้เป็นเอกสารที่สงวนไว้สำหรับการใช้งานเพื่อการศึกษาเท่านั้น ไม่อนุญาตให้นำไปใช้ประโยชน์ด้านการค้าไม่ว่ากรณีใดๆ ทั้งสิ้น อีกทั้งห้ามมิให้ดัดแปลงเนื้อหาและต้องอ้างอิงถึงเจ้าของเอกสารทุกครั้งที่มีการนำไปใช้

บทที่ 2

ทฤษฎีและหลักการ

2.1 วงจรออสซิลเลเตอร์ (Oscillator)

วงจรออสซิลเลเตอร์แบ่งออกได้เป็น วงจรออสซิลเลเตอร์คลื่นรูปไซน์ และวงจรออสซิลเลเตอร์ที่ไม่ใช่คลื่นรูปไซน์ เช่น รูปสี่เหลี่ยม พัลส์ เป็นต้น

วงจรออสซิลเลเตอร์คลื่นรูปไซน์ (Sine-wave Oscillator) จะให้กำเนิดสัญญาณคลื่นรูปไซน์ออกมาตลอดเวลาโดยมีขนาดและความถี่คงที่ชนิดของการออสซิลเลตแบ่งได้จากอุปกรณ์ที่ใช้จะนั้นวงจรออสซิลเลเตอร์คลื่นรูปไซน์จะแบ่งได้เป็น

- 1) วงจรออสซิลเลเตอร์ที่ใช้ LC
- 2) วงจรออสซิลเลเตอร์ที่ใช้ CR
- 3) วงจรออสซิลเลเตอร์ที่ใช้ก้อนผลึก (Crystal)

จากการแบ่งตามข้างบนนี้ ยังสามารถแบ่งออกไปเพื่อให้ชัดเจนยิ่งขึ้นได้อีก ตามตารางที่ 2.1

องค์ประกอบ ของ ออสซิลเลเตอร์	ชื่อของออสซิลเลเตอร์	ลักษณะการใช้งาน	ที่ใช้งาน
วงจร ออสซิลเลเตอร์ แบบ LC	<ol style="list-style-type: none"> 1. เลือกความถี่ที่คอลเลคเตอร์ (เทรน) 2. เลือกความถี่ที่เบส (เกท) 3. เลือกความถี่ที่อิมิตเตอร์ 4. ฮาร์ทเลย์ 5. คอลพิทท์ 	<ol style="list-style-type: none"> 1. ความถี่เปลี่ยนแปลงได้ง่าย 2. โดยทั่วไปเสถียรภาพของความถี่ไม่ดี 3. มักใช้กัน โดยทั่วไป 4. ใช้ในย่านความถี่สูง 	<ol style="list-style-type: none"> 1. ใช้ในเครื่องรับวิทยุ เอฟเอ็ม ทีวี ฯลฯ 2. ใช้เป็นตัวออสซิลเลเตอร์ในการวัดทางด้านความถี่สูง
วงจร ออสซิลเลเตอร์ แบบ CR	<ol style="list-style-type: none"> 1. แบบเลื่อนเฟส 2. แบบเวน บริดจ์ 	<ol style="list-style-type: none"> 1. ใช้ช่วงความถี่ต่ำ 2. ความถี่สามารถเปลี่ยนแปลงได้ 3. เสถียรภาพของความถี่ไม่ดี 	ใช้เป็นตัวออสซิลเลเตอร์ในการวัดทางด้านความถี่ต่ำ

ตารางที่ 2.1 วงจรออสซิลเลเตอร์แบบคลื่นรูปไซน์

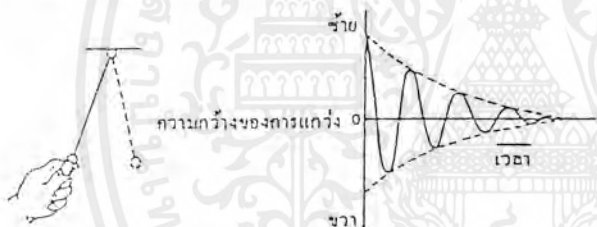
เอกสารนี้เป็นเอกสารที่สงวนไว้สำหรับการใช้งานเพื่อการศึกษาเท่านั้น ไม่อนุญาตให้นำไปใช้ประโยชน์ด้านการค้าไม่ว่ากรณีใดๆ ทั้งสิ้น อีกทั้งห้ามมิให้ตัดแปลงเนื้อหาและต้องอ้างอิงถึงเจ้าของเอกสารทุกครั้งที่มีการนำไปใช้

องค์ประกอบของออสซิลเลเตอร์	ชื่อของออสซิลเลเตอร์	ลักษณะการใช้งาน	ที่ใช้งาน
วงจรออสซิลเลเตอร์แบบใช้ชิ้นผลึก	1. ชิ้นผลึกต่อระหว่าง B กับ E 2. ชิ้นผลึกต่อระหว่าง C กับ B	1. เสถียรภาพของความถี่เป็นพิเศษ : $10^{-5} - 10^{-7}$ องศา 2. ใช้ในย่านความถี่สูง 3. การทำให้ความถี่เปลี่ยนแปลงทำได้ยาก	1. ใช้ในเครื่องส่งวิทยุ นาฬิกา เครื่องมือวัดต่างๆ ฯลฯ 2. เมื่อนำมาใช้ร่วมกับ วงจรเฟสล็อกกลูป (PLL) จะนำมาใช้งานได้อย่างกว้างขวาง

ตารางที่ 2.1 (ต่อ) วงจรออสซิลเลเตอร์แบบคลื่นรูปไซน์

หลักการเบื้องต้นของการออสซิลเลต

1. กระแสที่ช่วยให้เกิดการออสซิลเลตอย่างต่อเนื่อง

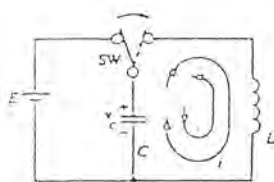


(ก) ลูกตุ้มนาฬิกา

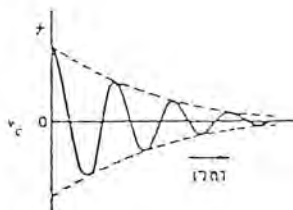
(ข) การออสซิลเลตแบบแดมป์ (damped oscillation)

รูปที่ 2.1 การออสซิลเลตทางกล

ตามรูปที่ 2.1 (ก) เมื่อลูกตุ้มนาฬิกาถูกปล่อยจากมือก็จะเกิดการแกว่งหรือออสซิลเลตด้วยค่าคงที่ดังรูปที่ 2.1(ข) แต่ต่อมาขนาดหรือระยะทางของการแกว่งจะลดลงเรื่อยๆ จนกระทั่งหยุดลง เนื่องจากผลของการต้านของอากาศและความฝืดของจุดที่ยึดลูกตุ้มนาฬิกาไว้ ด้วยลักษณะแนวความคิดนี้สามารถนำมาใช้กับวงจรไฟฟ้าดังรูปที่ 2.2 ได้เหมือนกัน



(ก)



(ข)

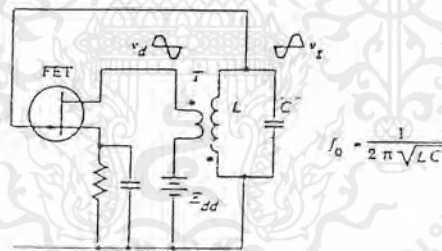
รูปที่ 2.2 การเกิดออสซิลเลตทางด้านวงจรไฟฟ้า

เอกสารนี้เป็นเอกสารที่สงวนไว้สำหรับการใช้งานเพื่อการศึกษาเท่านั้น ไม่อนุญาตให้นำไปใช้ประโยชน์ด้านการค้าไม่ว่ากรณีใดๆ ทั้งสิ้น อีกทั้งห้ามมิให้ตัดแปลงเนื้อหาและต้องอ้างอิงถึงเจ้าของเอกสารทุกครั้งที่มีการนำไปใช้

จากรูปที่ 2.2 (ก) ถ้าสวิตช์ถูกเลื่อนออกมาด้านขวาหลังที่ทำการประจุตัวที่เก็บประจุ C เต็มแล้ว กระแส i จะเริ่มไหลออกจากตัวเก็บประจุ ผ่านไปยังขดลวด L แต่เนื่องจากขดลวดมีคุณสมบัติของการเหนี่ยวนำหรือไม่สามารถที่จะเปลี่ยนแปลงอย่างทันทีทันใด ดังนั้นเมื่อกระแสที่ไหลจากตัวเก็บประจุ C ไปยังขดลวด L หมดแล้ว (คายประจุจนเป็นศูนย์) ก็จะทำให้เกิดกระแสไหลย้อนกลับทางกับทิศทางแรกเข้าที่การประจุตัวเก็บประจุอีก กลับไปกลับมาเช่นนี้ สภาวะการไหลของกระแสของสวิตช์จะเป็นดังที่กล่าวมาแล้วข้างต้น เนื่องจากผลของความต้านทาน R ภายในวงจรทำให้เกิดการสูญเสียกำลังงานไปเป็น i^2R นั้นหมายความว่า การออสซิลเลตจะถูกลดทอนลง ค่าศักดาที่ตกคร่อมตัวเก็บประจุ C จะสามารถเขียนมาเป็นกราฟได้ดังรูปที่ 2.2 (ข) ซึ่งเหมือนกับการออสซิลเลตทางกล (โดยที่เฟสของศักดาจะตามกระแสอยู่ 90 องศา)

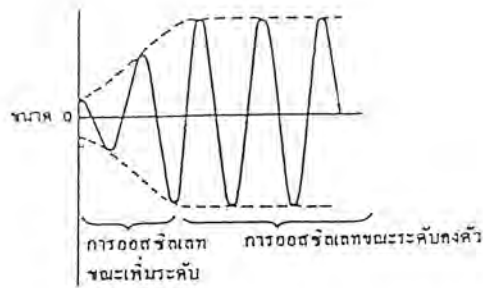
การออสซิลเลตในลักษณะที่ได้กล่าวมาแล้วนี้ เรียกว่า การออสซิลเลตแบบแดมป์ (damped oscillation) เพื่อที่จะช่วยให้การออสซิลเลตเป็นไปอย่างต่อเนื่อง จะต้องใส่กำลังเข้าไปในระบบมีค่าเท่ากับกำลังที่สูญเสียไป หรือกล่าวได้ว่า ลูกตุ้มนาฬิกาจะต้องถูกผลักเล็กน้อย เมื่อเคลื่อนที่ไปจนถึงด้านซ้ายสุดของการแกว่ง ในกรณีของการออสซิลเลตทางไฟฟ้า สวิตช์จะต้องถูกผลักกลับมาทางด้านซ้ายมือทันทีที่ค่าศักดา V_c มีค่าสูงสุด เพื่อที่จะรับค่ากำลังทางด้านไฟฟ้าจากแหล่งจ่ายไฟแล้วทำการผลักกลับตำแหน่งเดิม

โดยอาศัยหลักการออสซิลเลตทางกลมาทำความเข้าใจกับการออสซิลเลตทางไฟฟ้าลองมาพิจารณาจากวงจรจริง ดังรูป 2.3



รูปที่ 2.3 วงจรออสซิลเลตเตอร์แบบเลือกความถี่จากเกท

เมื่อเริ่มจ่ายไฟให้กับวงจร จะทำให้เกิดการกระชากของศักดาขึ้น ยังผลให้เกิดกระแสของออสซิลเลตอ่อนๆ ขึ้นในวงจร LC และเกิดศักดา V_c ขึ้นด้วย ค่าศักดา V_c จะถูกขยายโดยเฟด ผลที่ได้ถูกป้อนไปยังขดปฐมภูมิของทรานฟอร์เมอร์มีค่าเป็น V_d (แหล่งจ่ายไฟตรงขนาดเมื่อคิดในแง่ของไฟสลับแล้วให้มีค่าเป็น V_d) โดยผลอันนี้จะทำให้กำลังงานที่ป้อนไปให้วงจรเกิดออสซิลเลตได้ ขนาดของการออสซิลเลตจะเพิ่มขึ้นดังรูปที่ 2.4 และการออสซิลเลตในลักษณะแรกนี้เรียกว่า การออสซิลเลตช่วงเริ่มแรก หลังจากผ่านช่วงนี้ไปขนาดของสัญญาณจะเริ่มคงที่สภาวะนี้เรียกว่าการออสซิลเลตแบบต่อเนื่อง



รูปที่ 2.4 การออสซิลเลตในช่วงเริ่มแรกและการออสซิลเลตแบบต่อเนื่อง

การออสซิลเลตตามที่ได้อธิบายมานี้ กระแสที่ช่วยทำให้เกิดการออสซิลเลตอย่างต่อเนื่องได้รับมาจากกำลังงานที่จ่ายออกมา โดยแหล่งจ่ายไฟเลี้ยงวงจร

วงจรออสซิลเลเตอร์ใช้ผลึกควอตซ์หรือคริสตอล (Crystal Oscillator)

ในวงจรเครื่องส่งส่วนใหญ่ที่ต้องการให้เสถียรภาพทางความถี่ของเครื่องส่งมีค่าสูง หรือความถี่มีค่าคงที่ตลอดเวลาเพื่อให้เครื่องรับสามารถจูนรับสถานีได้ถูกต้องและตลอดไป วงจรออสซิลเลเตอร์ที่ให้คุณสมบัติเด่นในเรื่องเสถียรภาพทางความถี่ได้แก่ วงจรคริสตอลออสซิลเลเตอร์ นอกจากนี้วงจรคริสตอลออสซิลเลเตอร์ยังใช้เป็นตัวสร้างสัญญาณที่มีความถี่มาตรฐานไว้สำหรับตรวจสอบเครื่องมือบางชนิดและยังใช้เป็นตัวสร้างแรงดันฐานเวลามาตรฐานให้กับอุปกรณ์ที่ต้องการความเที่ยงตรงเช่นนาฬิกาอิเล็กทรอนิกส์

คริสตอลที่ใช้งานอยู่ทั่วไปทำมาจากผลึกควอตซ์ เมื่อมีแรงดันตกคร่อมผลึกควอตซ์ ผลึกควอตซ์ก็จะเกิดการสั่นความถี่ที่สั้น ได้จะมีค่าเกือบคงที่ซึ่งขึ้นอยู่กับความหนาของผลึกนั้น ความถี่ที่เกิดขึ้นจะยังคงเปลี่ยนแปลงได้อีกเล็กน้อยเนื่องจากอุณหภูมิ

โดยหลักการแล้วลักษณะสมบัติของคริสตอล มีลักษณะคล้ายคลึงกับวงจรรีโซแนนซ์ที่สามารถเขียน วงจรสมมูลได้ดังรูป 2.5

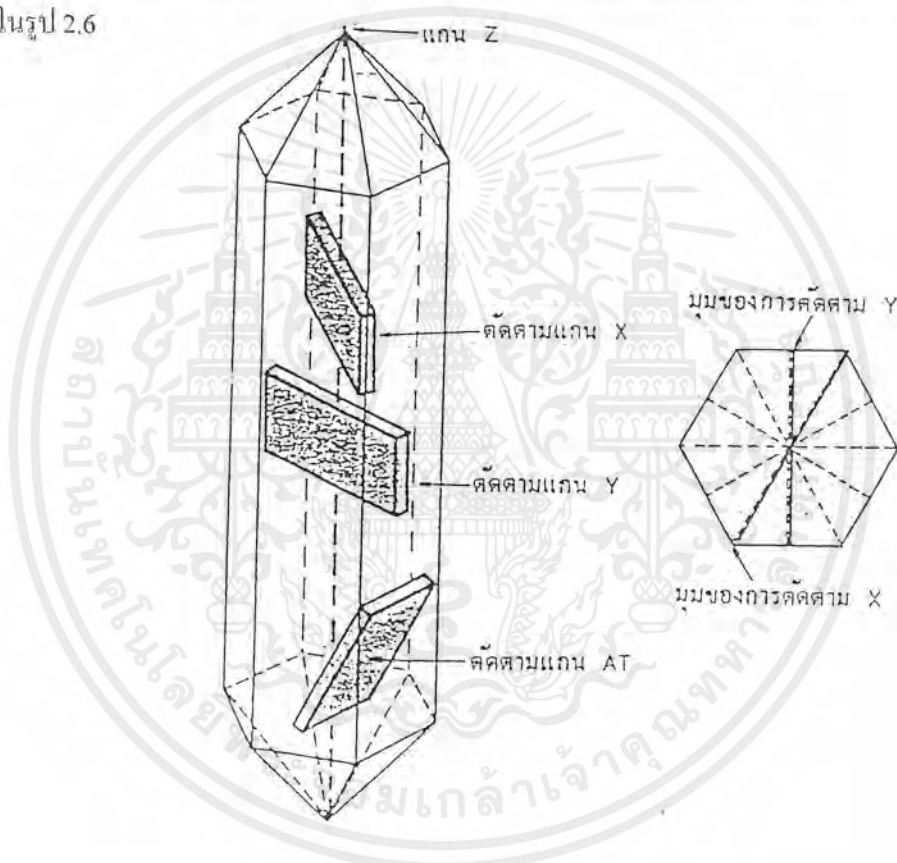


รูปที่ 2.5 วงจรสมมูลของผลึกคริสตอล

เอกสารนี้เป็นเอกสารที่สงวนไว้สำหรับการใช้งานเพื่อการศึกษาเท่านั้น ไม่อนุญาตให้นำไปใช้ประโยชน์ด้านการค้าไม่ว่ากรณีใดๆ ทั้งสิ้น อีกทั้งห้ามมิให้ตัดแปลงเนื้อหาและต้องอ้างอิงถึงเจ้าของเอกสารทุกครั้งที่มีการนำไปใช้

คริสตอลเป็นเพียงผลึกของควอร์ตซ์ที่ยังต้องอาศัยตัวจับยึดเข้ากับกระป๋องโลหะดังนั้นในส่วน
ของตัวจับยึดคริสตอลจึงเกิดมีลักษณะเหมือนเป็นตัวเก็บประจุที่ขนานอยู่อีก 1 ตัว คั่งวงจรสมมูลดังรูปที่
2.5 แต่เนื่องจากตัวเก็บประจุในตัวผลึกของคริสตอลที่ต่ออนุกรมกับตัวเหนี่ยวนำมีค่าต่ำ ดังนั้นตัวเก็บ
ประจุที่ต่อขนานอยู่ภายนอกจึงมีอิทธิพลต่อการออสซิลเลตของสัญญาณน้อยมาก และในขณะรีโซแนนซ์
นั้นส่วนของวงจรรีโซแนนซ์แบบอนุกรมและแบบขนานเกือบจะทำให้ความถี่รีโซแนนซ์เป็นความถี่เดียว
กัน

ผลึกควอร์ตซ์นี้เป็นวัสดุจำพวกซิลิกอน ไดออกไซด์ที่มีลักษณะเหมือนแก้วในส่วนของผลึกจะมี
รูปร่างเป็น 6 ด้านเหมือนปริซึม โดยผลึกควอร์ตซ์ที่ใช้งานจะได้รับการตัดด้วยลักษณะของแกน 3 แกน ดัง
แสดงในรูป 2.6



รูปที่ 2.6 ผลึกควอร์ตซ์และการตัดผลึก

แกน X เป็นแกนที่ลากระหว่างมุมสองมุมของแท่งปริซึม ส่วนแกน Y จะเป็นแกนที่ลากตั้งฉาก
กับผิวหน้าของตัวคริสตอล นั่นคือถ้าหากตัดคริสตอลตามแนวผลึกจากมุมหนึ่งไปยังอีกมุมหนึ่งที่อยู่ตรง
ข้ามก็เรียกว่าการตัดแบบ X (X-cut) ซึ่งผลของการตัดแบบนี้จะทำให้ความถี่ที่ได้เปลี่ยนแปลงกับอุณหภูมิ
ในลักษณะที่อุณหภูมิสูงขึ้นค่าความถี่จะลดลง แต่ถ้าตัดในแนวแกน Y ก็จะเป็นผลทำให้ความถี่ของการ
สั่นสูงขึ้น เมื่ออุณหภูมิสูงขึ้น

เอกสารนี้เป็นเอกสารที่สงวนไว้สำหรับการใช้งานเพื่อการศึกษาเท่านั้น ไม่อนุญาตให้นำไปใช้ประโยชน์ด้านการค้า
ไม่ว่ากรณีใดๆ ทั้งสิ้น อีกทั้งห้ามมิให้ตัดแปลงเนื้อหาและต้องอ้างอิงถึงเจ้าของเอกสารทุกครั้งที่มีการนำไปใช้

จะเห็นได้ว่าไม่ว่าจะตัดในแกน X หรือ Y จะเป็นผลทำให้ความถี่ของการสั่นของคริสตอลขณะรีโซแนนซ์เปลี่ยนแปลงกับอุณหภูมิได้มาก ดังนั้นเราจึงต้องหาทางตัดแกนใดแกนหนึ่งเพื่อให้ผลการเปลี่ยนแปลงกับอุณหภูมิน้อยที่สุดหรือแทบจะกล่าวได้ว่ามันไม่มีผลเลย แกนที่ใช้ในการตัดคือแกน AT ดังแสดงไว้ในรูปที่ 2.6

เราอาจจะตัดคริสตอลให้อยู่ในแกนอื่นๆ ก็ได้ ในแต่ละระนาบของการตัดจะให้ผลการเปลี่ยนแปลงช่วงความถี่ต่ออุณหภูมิตลอดจนความถี่ฮาร์มอนิกที่ใช้งานแตกต่างกัน

ส่วนความหนาของแผ่นคริสตอล จะเป็นตัวกำหนดความถี่ของการรีโซแนนซ์ถ้าแผ่นคริสตอลยิ่งบางก็หมายความว่าความถี่ของการรีโซแนนซ์มีค่าสูงขึ้น แผ่นคริสตอลที่ทำความถี่ได้สูงประมาณ 15 เมกะเฮิร์ตซ์ไม่เกิน 50 เมกะเฮิร์ตซ์ แต่ถ้าต้องการความถี่สูงกว่านี้ก็มักใช้ฮาร์มอนิกของสัญญาณนั่นเอง

อุปกรณ์จำพวกคริสตอลเป็นอุปกรณ์ที่ค่อนข้างจะบอบบาง ดังนั้นคริสตอลจึงต้องทำงานที่ระดับพลังงานต่ำ หรือในขณะที่ใช้งานเป็นตัวกระตุ้น ในขณะที่ป้อนกลับระหว่างอินพุตกับเอาต์พุต จะต้องไม่ให้ระดับแรงดันตกคร่อมตัวมันมากเกินไป ซึ่งจะทำให้คริสตอลทำงานผิดพลาด และเกิดความร้อนกับตัวมันสูงสุดจนมันเสียหายได้

จากที่กล่าวแล้วว่าเราใช้คริสตอลกระตุ้นวงจรออสซิลเลเตอร์ ก็เพื่อเหตุผลในเรื่องต้องการให้ได้ความถี่ที่มีเสถียรภาพสูง ค่าเสถียรภาพของวงจรออสซิลเลเตอร์สามารถหาได้จากการกำหนดค่า Q ของตัวคริสตอลและสัมประสิทธิ์การผันแปรทางความถี่กับอุณหภูมิ ค่า Q ของคริสตอลมักมีค่าสูงกว่าค่า Q ของวงจรจูนที่ประกอบด้วย RLC ถึง 100 เท่า 1000 เท่า คริสตอลที่มีขายกันในปัจจุบันมีค่า Q ประมาณ 5000 ถึง 30000 เราจึงพอจะเห็นแล้วว่าวงจรออสซิลเลเตอร์ที่ใช้คริสตอลจึงมีเสถียรภาพทางความถี่สูงกว่าวงจร LC ออสซิลเลเตอร์มาก

การออกแบบวงจรคริสตอลออสซิลเลเตอร์

คุณลักษณะของวงจรคริสตอลออสซิลเลเตอร์มีดังนี้

1. คุณสมบัติการเป็นวงจรแบบเชิงเส้น (linear property) ช่วยในการควบคุมค่าอัตราขยายของสัญญาณ (gain) และเฟสชิฟต์ของสัญญาณ (phase shift)
2. คุณสมบัติทางโอเวอร์โหลด (overload property) ช่วยในการควบคุมรูปร่างและขนาดแอมพลิจูดของสัญญาณที่ผลิตได้

สาเหตุที่มีวงจรคริสตอลออสซิลเลเตอร์หลายชนิดเนื่องจากการออกแบบวงจรนั้นขึ้นอยู่กับ การเปลี่ยนแปลงค่าความต้านทานภายในของคริสตอล ซึ่งจะทำให้ได้ความถี่ในช่วงกว้าง

1. ความถี่ของสัญญาณที่จะออสซิลเลตได้นั้นจะแปรค่าตามความต้านทานภายในของคริสตอล
2. การที่จะขับคริสตอลให้ทำงานได้นั้น ต้องทำให้ระดับอิมพีแดนซ์ของวงจรแมทซ์กับค่าความต้านทานซึ่งค่อนูกรมอยู่ภายในคริสตอล (R_s)

อย่างไรก็ตามไม่ว่าค่าความต้านทานภายในของคริสตอลจะมีค่าเท่าไร แต่ระดับอิมพีแดนซ์ของวงจรจะต้องเปลี่ยนแปลงตามให้แมตช์กันอย่างเหมาะสม ซึ่งขึ้นอยู่กับวงจรมันๆ ด้วยว่าสามารถทำงานได้ดีที่สุดในช่วงความถี่ใด เนื่องจากวงจรออสซิลเลเตอร์นั้นไม่มีรูปแบบที่แน่นอน ชนิดของวงจรออสซิลเลเตอร์ที่ใช้ควอคริสตอล แบ่งได้ 3 ชนิดใหญ่ๆ ดังนี้

1. แบบพื้นฐาน ใช้ที่ความถี่ไม่เกิน 20 เมกะเฮิรตซ์ เช่น วงจรแบบ Pierce และค่า Q ในวงจรจะมีค่าเท่ากับ 90 % ของค่า Q ภายในของออสซิลเลเตอร์
2. แบบฮาร์โมนิก ใช้ในช่วงความถี่ 20 – 100 เมกะเฮิรตซ์ ประกอบด้วยวงจรแทงก์ LC หรือเป็นระบบที่ใช้ L และ C ในการเลือกฮาร์โมนิกที่ต้องการ โดยมีการใช้วงจรอิมิตเตอร์คัปเปิลเลอร์ฮาร์โมนิก (Emitter – coupled Harmonic) คือมีเสถียรภาพทางความถี่แบบช็อตเทอม (short – term) ดีที่สุด คือมีการรบกวนทางเฟส (phase noise) ต่ำที่สุด และค่า Q ในวงจรจะมีค่าเท่ากับ 80 % ของค่า Q ภายในคริสตอล

เงื่อนไขของวงจรแบบที่ 1 และ 2 คือ ต้องการส่วนประกอบของอุปกรณ์ที่เสถียรในระบบการเลื่อนเฟส (phase shift)

3. แบบบริดจ์ ใช้ในช่วงความถี่มากกว่า 100 เมกะเฮิรตซ์ เป็นวงจรที่มีความซับซ้อนมากกว่าสองแบบแรก แต่เป็นวงจรที่จะทำให้ได้ค่า Q ในวงจรมากกว่าค่า Q ภายในของคริสตอล มีหลักการคือ การใช้การป้อนกลับแบบลบ เพื่อไปหักล้างกับส่วนของค่าความต้านทานภายในของ คริสตอล โดยติดค่า L และ C ภายในของคริสตอลด้วย มีลักษณะคือ จะช่วยให้เสถียรภาพทางความถี่แบบช็อตเทอมสูงขึ้น ใช้วงจรฟอลโลว์เออร์ (Butler – follower)

เกณฑ์ที่ใช้ในการพิจารณาเลือกวงจรที่เราจะใช้ ประกอบด้วย

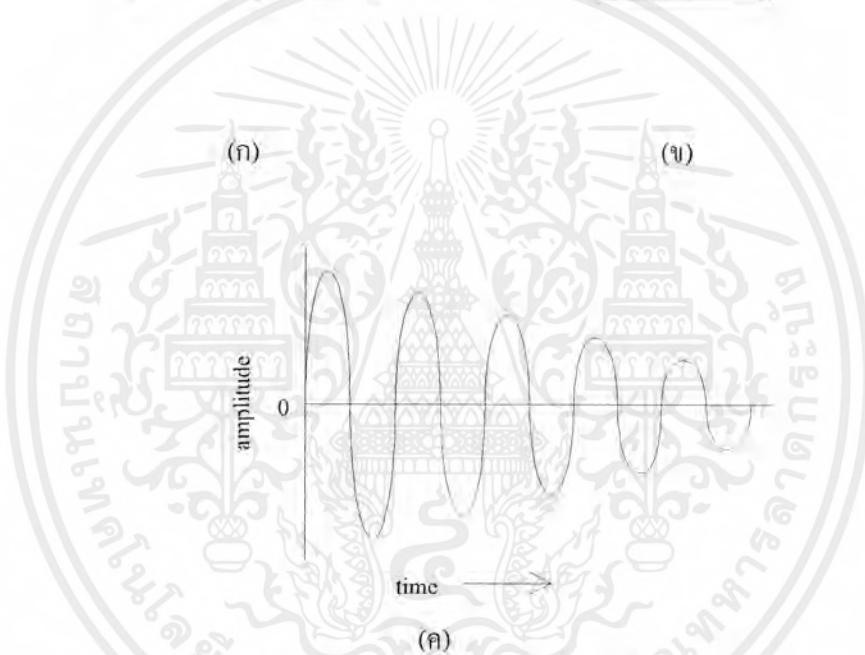
1. ค่าความถี่ที่เราต้องการในการออสซิลเลต
2. ค่า R_s ของคริสตอลที่เราใช้
3. ความเหมาะสมในด้านราคา
4. ปัญหาเนื่องจากความยุ่งยากซับซ้อนของวงจร
5. ความมีเสถียรภาพทางความถี่

วงจร LC ออสซิลเลเตอร์

วงจร LC ออสซิลเลเตอร์เกิดออสซิลเลตได้อย่างไร จากรูปที่ 2.7(ก) แบตเตอรี่จ่ายพลังงานให้แก่คาปาซิเตอร์ C ซึ่งต่อขนานอยู่กับอินดักเตอร์ L ในลักษณะนี้ยังไม่มีการออสซิลเลตใดๆ เกิดขึ้น แบตเตอรี่จะชาร์จประจุให้แก่คาปาซิเตอร์จนถึงระดับแรงดันไฟฟ้า V_c และเกิดไฟฟ้ากระแสตรง I_L ไหลภายในคอยล์ ดังนั้นจะเกิดพลังงานสะสมภายในตัวคาปาซิเตอร์และเกิดพลังงานแม่เหล็กภายในตัวคาปาซิเตอร์ และเกิดพลังงานแม่เหล็กภายในคอยล์ขึ้นจากรูปที่ 2.7(ข) สวิตช์ S ถูกเปิดวงจร ทำให้วงจรของแบตเตอรี่ V_A ถูกตัดขาดจากวงจร LC ทันที ในสภาวะเช่นนี้ จึงสามารถที่จะพิจารณาการทำงานของวงจร LC ได้ เมื่อปราศจากแบตเตอรี่ ระดับของกระแส I_L จะค่อยๆ ลดลง ดังนั้นจึงเกิดการเปลี่ยนแปลง โดยการเหนี่ยวนำของสนามแม่เหล็กทำให้เกิดแรงดันไฟฟ้า V_L ขึ้นในขณะนี้คอยล์ L จึงเสมือนกับเป็นแหล่งจ่ายแรงดันไฟฟ้า LC แต่อย่างไรก็ตามชั่วขณะของแรงดันไฟฟ้า V_L จะต้องอยู่ในตำแหน่งที่ทำให้ I_L ไหลในทางเดียวกัน

เอกสารนี้เป็นเอกสารที่สงวนไว้สำหรับการใช้งานเพื่อการศึกษาเท่านั้น ไม่อนุญาตให้นำไปใช้ประโยชน์ด้านการค้า ไม่ว่ากรณีใดๆ ทั้งสิ้น อีกทั้งห้ามมิให้ดัดแปลงเนื้อหาและต้องอ้างอิงถึงเจ้าของเอกสารทุกครั้งที่มีการนำไปใช้

เพื่อที่ C จะสามารถดิสชาร์จประจุได้แต่ที่จริงแล้ว V_L จะชาร์จประจุให้แก่ C ด้วยซ้ำที่ตรงข้ามเมื่อ V_C เปลี่ยนไปจนมีค่ามากกว่า V_L คาปาซิเตอร์จะจ่ายกระแสดิสชาร์จประจุ I_C ออกมาซึ่งมีทิศทางที่ตรงกันข้ามกับ I_L ผลลัพธ์ที่เกิดขึ้นจะเกิดการแลกเปลี่ยนพลังงานระหว่างอินดักแตนซ์และคาปาซิแตนซ์เกิดการเปลี่ยนแปลงระหว่าง V กับ I ด้วยความถี่ไซโชนแนนซ์ธรรมชาติของวงจร LC ขึ้นดังรูปที่ 2.7 (ค) ขณะใดก็ตาม I_L มีค่าเปลี่ยนเป็นศูนย์ก็จะเกิดการเหนี่ยวนำ V_L ขึ้นและขณะใดก็ตามที่ V_C มีค่าเป็นศูนย์ก็จะเกิดการเปลี่ยนแปลงเป็นกระแส I_C ขึ้นสลับกันอยู่อย่างนี้เรื่อยไป ทำให้เกิดเป็นคลื่นไซน์ ที่มีลักษณะต่อเนื่องตลอดเวลาซึ่งจะสังเกตได้ว่า V และ I จะไม่สามารถเปลี่ยนแปลงค่าได้อย่างทันทีทันใด



รูปที่ 2.7 วงจร LC ออสซิลเลตที่ความถี่ไซโชนแนนซ์

- (ก) ในขณะที่สวิตช์ปิดวงจรแบบเคอร์รี่จะชาร์จประจุให้แก่ C และผลิกระแสให้ไหลภายใน L
- (ข) ในขณะที่สวิตช์เปิดวงจร วงจรแบบเคอร์รี่จะถูกตัดขาดออกจากวงจร LC ในวงจร LC ขณะนี้เกิดการเปลี่ยนแปลงพลังงานระหว่าง L กับ C
- (ค) คลื่นไซน์ (Sinusoidal wave)

แอมพลิจูดของการออสซิลเลตค่า V และ I จะค่อยๆ ลดลงเรื่อยๆ เนื่องจากเกิดการสูญเสียพลังงานที่ความต้านทานของวงจร จนกระทั่งแอมพลิจูดของคลื่นไซน์จะมีค่าเข้าใกล้ศูนย์ ในที่สุดดังรูปที่ 2.7 (ค) การทำงานของวงจร LC ในการออสซิลเลตทำให้เกิดคลื่นไซน์ จากพลังงานที่สะสมอยู่ในวงจรเราเรียกว่า “ริงกิง” (ringing) ซึ่งที่จริงแล้วคอยล์ในวงจรใดๆ ก็ตามสามารถเกิดริงกิงได้จากค่าคาปาซิแตนซ์ตกค้าง

เอกสารนี้เป็นเอกสารที่สงวนไว้สำหรับการใช้งานเพื่อการศึกษาเท่านั้น ไม่อนุญาตให้นำไปใช้ประโยชน์ด้านการค้าไม่ว่ากรณีใดๆ ทั้งสิ้น อีกทั้งห้ามมิให้ตัดแปลงเนื้อหาและต้องอ้างอิงถึงเจ้าของเอกสารทุกครั้งที่มีการนำไปใช้

(stray capacitance) ที่ค่อนข้างน้อย สำหรับลักษณะของคลื่นที่ค่า I มีค่าลดลงอย่างรวดเร็วจะเกิดขึ้นได้ ในคอยล์ที่มีค่า Q สูงๆ วงจร LC อาจจะถูกเรียกได้อีกชื่อหนึ่งคือ วงจรแทงค์ (Tank circuit) เนื่องจากสามารถเก็บสะสมพลังงานเพื่อก่อให้เกิดการออสซิลเลตได้ คุณสมบัติของ วงจรแทงค์ในการผลิตคลื่นไซน์ซึ่งมีอินพุตเป็นไฟตรงหรือเป็นพัลส์ก็ได้เรียกว่า “ฟลายวีล เอฟเฟ็ค” (Flywheel Effect)

วงจรรออสซิลเลเตอร์ในทางปฏิบัตินั้น โดยทั่วไปการขยายสัญญาณจะใช้ทรานซิสเตอร์หรือหลอดสูญญากาศก็ได้เช่นกัน ดังนั้นจึงสามารถที่จะปรับปรุงวงจรให้เป็นวงจรป้อนกลับ โดยป้อนสัญญาณเอาต์พุตกลับไปยังอินพุตเพื่อรักษาสถานะการออสซิลเลตให้คงอยู่ พลังงานที่ใช้เพื่อคงสถานะการออสซิลเลตให้อยู่ได้นั้น ได้จากแหล่งจ่ายไฟตรงสำหรับวงจรขยายสัญญาณนั่นเอง วงจรรออสซิลเลเตอร์ LC นี้ส่วนใหญ่ใช้สำหรับผลิตคลื่นไซน์ที่มีความถี่อาร์เอฟ ซึ่งมีความถี่สูงถึง 300 เมกะเฮิร์ตซ์ ที่ความถี่อาร์เอฟ ค่าอุปกรณ์ L และ C ที่ใช้จะมีค่าสูงมาก ดังนั้นจึงเกิดปัญหาคับข้องจรในการปรับปรุงวงจรให้มีการใช้งานในย่านความถี่สูงกว่า 300 เมกะเฮิร์ตซ์ ย่านยูเอชเอฟและเป็นวงจรรออสซิลเลเตอร์ในวงจรไมโครเวฟ เป็นต้น ความถี่ออสซิลเลเตอร์

ในวงจรรออสซิลเลเตอร์แบบจูนอาร์เอฟ สัญญาณที่เอาต์พุตจะต้องมีความถี่เป็นความถี่รีโซแนนซ์ของวงจร LC ซึ่งจะมีสมการดังนี้

$$f_r = \frac{1}{2\pi\sqrt{LC}} \quad (2.1.1)$$

สำหรับค่าที่ใช้ในทางปฏิบัติในวงจรอาร์เอฟ L มีขนาดเป็นไมโครเฮนรี C มีขนาดเป็นพิโคฟารัด จะได้ความถี่ของ f_r มีหน่วยเป็นกิกะเฮิร์ตซ์ (GHz) ดังตัวอย่าง ถ้า $L = 80 \mu\text{H}$ และ $c = 20 \text{ pF}$ จะได้

$$f_r = \frac{1}{2\pi\sqrt{80 \times 20}} = \frac{1}{2\pi\sqrt{1600}} = \frac{1}{80\pi}$$

$$f_r = 0.004 \text{ GHz หรือ } 4 \text{ MHz}$$

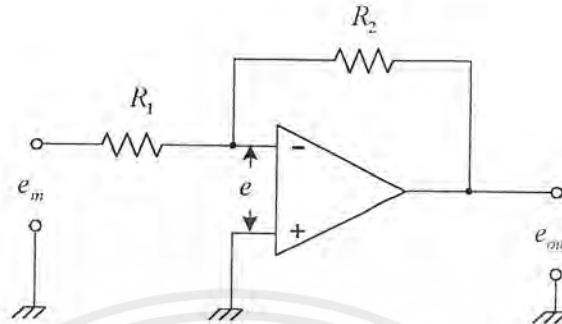
ในวงจรที่มีเสถียรภาพดีๆ นั้น วงจรจูนจะต้องมีค่า Q สูง เพื่อป้องกันการเลื่อนของความถี่สัญญาณ นอกจากนี้ทั้ง L และ C ยังจะต้องมีคุณภาพดีนั่นคือ มีค่าคงที่แม้ว่าอุณหภูมิจะเปลี่ยนแปลงไปตามและการปรับปรุงให้แหล่งจ่ายไฟมีเอาต์พุตที่คงที่ตลอดเวลาเป็นการช่วยปรับปรุงเสถียรภาพของความถี่ได้อีกทางหนึ่ง

2.2 วงจรขยาย (Amplifier)

วงจขยายสัญญาณแบบกลับเฟส (Inverting Amplifier)

วงจขยายสัญญาณแบบกลับเฟสได้แสดงไว้ในรูปที่ 2.8 “ + input ” ต่อลงกราวด์ ในบางกรณีอาจผ่านตัวต้านทาน (resistor) เป็นไบอัสคอมเพนเซชัน (bias compensation) ด้วย ตามรูป R_2 เป็นทางเดินแบบป้อนกลับ (feedback path) จากเอาต์พุตมายังอินพุต ถ้าให้ c เป็นค่าของแรงดัน ระหว่างอินพุตที่กลับเฟส (inverting input) กับกราวด์ เราจะได้

$$\frac{e_{in} - e}{R_1} = \frac{e - e_{out}}{R_2} \quad (2.2.1)$$



รูปที่ 2.8 วงจรขยายแบบกลับเฟส (Inverting Amplifier)

สมการ(2.2.1) เป็นจริงเนื่องจากได้กล่าวมาแล้วว่า ความต้านทานอินพุต (input impedance) ของออปแอมป์ (operational amplifier) มีค่าอนันต์ (infinite) นั่นคือไม่มีกระแสไหลเข้าไปใน วงจรขยาย (amplifier) กระแสผ่าน R_1 จึงมีค่าเท่ากับกระแสที่ผ่าน R_2 อีกทั้งอัตราขยายแบบเปิดวงจร (open loop gain) ของออปแอมป์ (operational amplifier) มีค่าอนันต์ แรงดัน e จึงเป็นศูนย์ เพราะฉะนั้น สมการ (2.2.1) จะกลายเป็น

$$\frac{e_{out}}{e_{in}} = -\frac{R_2}{R_1} \quad (2.2.2)$$

สมการ (2.2.2) ถือเป็น อัตราขยายแบบปิดวงจร (closed loop gain) ของวงจรขยาย (เพราะมีโครงข่ายป้อนกลับ : feed - back network) ใช้สัญลักษณ์ A_F

$$\therefore A_F = -\frac{R_2}{R_1} \quad (2.2.3)$$

สำหรับ อัตราขยายแบบเปิดวงจรของวงจรขยายเราแทนด้วยสัญลักษณ์ A_0

ส่วนความต้านทานอินพุต (R_{in}) ของวงจรขยายแบบกลับเฟสมีค่าเท่ากับแรงดันอินพุตหารด้วยกระแสอินพุต

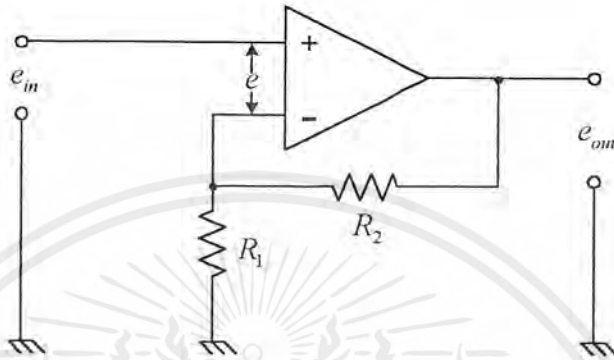
$$R_{in} = \frac{e_{in}}{(e_{in} - e)/R_1} \quad (2.2.4)$$

แต่เนื่องจากความต้านทานอินพุต ของออปแอมป์มีค่าเป็นอนันต์เราจึงได้

$$R_{in} = R_1 \quad (2.2.5)$$

วงจรถ่ายแบบไม่กลับเฟส (Non – inverting Amplifier)

วงจรถ่ายแบบไม่กลับเฟสได้แสดงดังรูปที่ 2.9 เมื่ออัตราขยายแบบเปิดวงจรของวงจรถ่ายมีค่าอนันต์ แรงดันระหว่างขั้วที่กลับเฟส (inverting terminal) และขั้วที่ไม่กลับเฟส (non-inverting terminal) จึงมีค่าน้อยมากแทบไม่ต้องคำนึงถึงแรงดันคร่อม R_1 มีค่าเท่ากับ e_{in} และเมื่อไม่มีกระแสไหลผ่านอินพุตที่กลับเฟส กระแสผ่าน R_2 จะเท่ากับกระแสผ่าน R_1



รูปที่ 2.9 วงจรถ่ายแบบไม่กลับเฟส (Non-inverting amplifier)

$$\therefore \frac{e_{out} - e_{in}}{R_2} = \frac{e_{in}}{R_1} \quad (2.2.6)$$

จะได้

$$A_F = \frac{e_{out}}{e_{in}} = 1 + \frac{R_2}{R_1} \quad (2.2.7)$$

แม้ความต้านทานอินพุต ของวงจรถ่ายแบบไม่กลับเฟส ที่เป็นอุดมคติ (ideal) มีค่าเป็นอนันต์ก็จริง แต่ในทางปฏิบัติมักใช้ความต้านทานสูง ๆ ต่อไว้ที่อินพุตเป็นความต้านทานอินพุต (Z_{in}) และเมื่อนำ Z_{in} คูณกับอัตราส่วน (ratio) ของ A_o ต่อ A_F จะได้ค่าความต้านทานอินพุตของ วงจรถ่ายสัญญาณแบบไม่กลับเฟส

$$R_{in} = Z_{in} \frac{A_o}{A_F} = \frac{Z_{in} A_o}{1 + (R_2 / R_1)} \quad (2.2.8)$$

จะเห็นได้ว่าวงจรถ่ายแบบไม่กลับเฟส ให้ความต้านทานอินพุตสูงกว่าวงจรถ่ายแบบกลับเฟส

2.3 หลักการทำงานของวงจรโหม่งพื้นฐาน

เครื่องกำเนิดเวลาพื้นฐานโดยใช้ตัวต้านทานและตัวเก็บประจุ (RC Time-Base Generator)

วงจรเวลาพื้นฐานแบบง่าย สร้างโดยตัวต้านทาน (Resistor) ตัวเก็บประจุ (Capacitor) และโครงข่ายเซนซิง (Sensing Network) ซึ่งแสดงดังรูป 2.10 เวลา (t) สำหรับตัวเก็บประจุ C เพื่อที่จะชาร์จแรงดัน V_C ในวงจรนี้ คือ

t = เวลา (วินาที)

ln = ล็อกธรรมชาติ (Natural log)

R = ค่าความต้านทาน (โอห์ม)

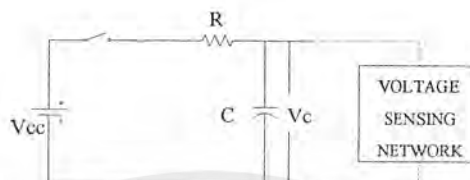
เอกสารนี้เป็นเอกสารที่สงวนไว้สำหรับการใช้งานเพื่อการศึกษาเท่านั้น ไม่อนุญาตให้นำไปใช้ประโยชน์ทางการค้าไม่ว่ากรณีใดๆ ทั้งสิ้น อีกทั้งห้ามมิให้ตัดแปลงเนื้อหาและต้องอ้างอิงถึงเจ้าของเอกสารทุกครั้งที่มีการนำไปใช้

C = ค่าความเก็บประจุ (ฟารัด)

V_C = แรงดันของตัวเก็บประจุ (โวลต์)

$$t = RC \ln \frac{V_C}{V_{CC} - V_C} \quad (2.3.1)$$

สำหรับ 1 ค่าเวลาคงที่ (RC time constant $t = RC$) $V_C = 63.21\%$ ของ V_{CC}



รูป 2.10 วงจร RC แบบง่าย (Basic RC Circuit)

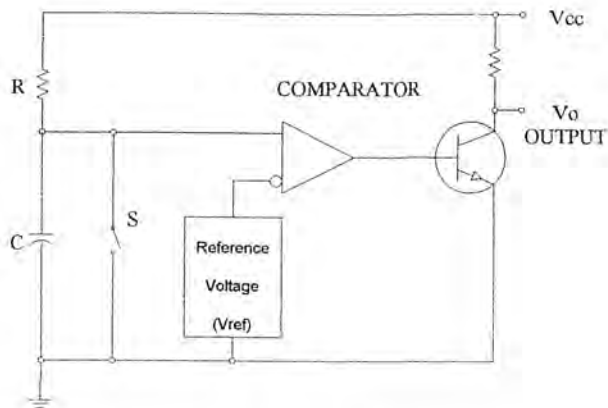
วงจรถ่ายที่พื้นฐาน (A Basic Delay Timer)

วงจรถ่ายที่พื้นฐาน ประกอบด้วย อาร์ซี เนตเวิร์ค (RC network) ดิสชาร์จสวิทช์ (discharge switch) แรงดันอ้างอิง (voltage reference) ตัวเปรียบเทียบแรงดัน (threshold comparator) และ เอาต์พุตสวิทช์ (output switch) วงจรไทม์เมอร์และเวฟฟอร์ม แสดงในรูป 2.11

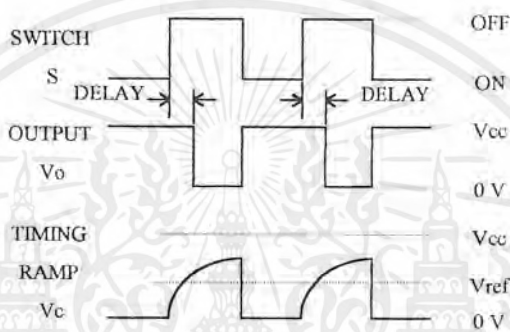
วงจรถ่ายที่ทำงานโดย กำหนดค่าให้อาเอาต์พุตของวงจรถ่ายที่ไทม์เมอร์ (timer output V_o) มีค่า high (ใกล้ V_{CC}) และสวิทช์ S ปิด ชอร์ต (short) C ลงกราวด์ เมื่อสวิทช์ S เปิด คาบเวลา (timing period) จะเริ่มต้น และ V_C ก็ยังคง high อยู่

เมื่อสวิทช์ S เปิด C เริ่มชาร์จผ่านตัวต้านทาน R ไปยัง V_{CC} แรงดัน V_C เพิ่มขึ้นไม่เป็นเชิงเส้น (non-linearly) รูปไทม์มิงแรมป์ (timing ramp) ดังแสดงในรูป 2.11 V_o ตีเลยจากสถานะชาร์จ จนกระทั่ง V_C ถึงค่าแรงดันอ้างอิง V_{ref} ซึ่งเป็นเศษส่วนของ V_{CC} เมื่อค่าแรงดันของไทม์มิงแรมป์ (timing ramp voltage) ถึงค่า V_{ref} เอาต์พุตจากวงจรถ่ายที่เปรียบเทียบจะเป็น high ไปยังเอาต์พุตของทรานซิสเตอร์ ดังนั้นจะสวิทช์ให้อาเอาต์พุต low เอาต์พุตจะยังคงคงค่า low จนกระทั่งสวิทช์ S ปิด

ในการเพิ่มส่วนเปรียบเทียบอื่นๆ อย่างเช่น อาร์เอส ไทพ ฟลิปฟลอป (RS type flipflop) และดิสชาร์จ ทรานซิสเตอร์ (discharge transistor) ดังโครงสร้างที่แสดงในรูป จะยอมให้พัลส์ทริกเพื่อ เริ่มต้นการทำงานของไทม์มิง



(a) วงจร



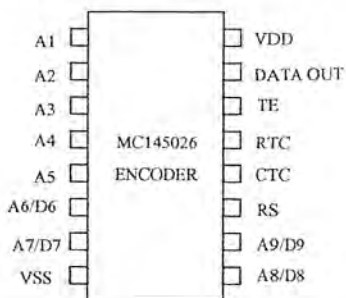
(b) รูปคลื่นแสดงแรงดัน (VOLTAGE WAVEFORMS)

รูป 2.11 วงจรไทม์เมอร์และเวฟฟอร์ม

2.4 ทฤษฎีของ IC MC145026

เป็นไอซี CMOS ทำหน้าที่เข้ารหัส โดยการกำหนดขาแอดเดรส 1 ถึงแอดเดรส 9 ได้ 3 สถานะ (High, Low, Open) ถ้าในกรณีที่ใช้ไอซีถอดรหัสเป็นเบอร์ MC145027 ไอซีจะมีความสามารถเข้ารหัสและถอดรหัสได้สูงถึง 1963 รหัส การทำงานของไอซีกำหนดได้โดยกำหนดให้ขาทรานสมิต อีนาเบิล (TRANSMITE ENABLE) โดยที่ตัวไอซีจะผลิตความถี่โดยกำหนดจากอุปกรณ์ภายนอก (R,C) โดยจะส่งออกมาเป็นรหัส แล้วแต่จะกำหนดขาแอดเดรส

รายละเอียดการใช้งานหน้าที่ขาต่างๆของ IC MC145026



รูปที่ 2.12 ขาต่างๆของ MC145026 (ENCODER)

เอกสารนี้เป็นเอกสารที่สงวนไว้สำหรับการใช้งานเพื่อการศึกษาเท่านั้น ไม่อนุญาตให้นำไปใช้ประโยชน์ด้านการค้าไม่ว่ากรณีใดๆ ทั้งสิ้น อีกทั้งห้ามมิให้ตัดแปลงเนื้อหาและต้องอ้างอิงถึงเจ้าของเอกสารทุกครั้งที่มีการนำไปใช้

-ขา 1 ถึงขา 7 และขา 9, ขา 10 (A₁ ถึง A₉)

เป็นขาที่ทำหน้าที่กำหนดแอดเดรสของไอซีคือ A1 ถึง A9 สามารถกำหนดแต่ละขาได้ 3 สถานะ (High, Low, Open)

-ขา 11,12,13 (RS, CTC, RTC)

เป็นขาที่ต่ออุปกรณ์ภายนอกเพื่อเป็นการกำหนดความถี่ของส่วนออสซิลเลเตอร์ ซึ่งแสดงไว้ในรูปการต่อใช้งาน

-ขา 14 (TE)

เป็นขาทรานสมิต อินาเบิล ทำงานที่สถานะ LOW จะกำหนดให้ไอซีส่งสัญญาณที่เข้ารหัสออกไป

-ขา 15 (DATA OUTPUT)

เมื่อกำหนดให้ไอซีส่งสัญญาณที่มีการเข้ารหัส โดยที่จะให้เอาต์พุตออกจากขานี้

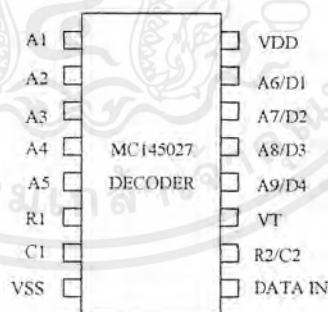
-ขา 8 (VSS)

ปกติใช้งานต่อแหล่งจ่ายไฟ

2.5 ทฤษฎีของ IC MC145027

เป็นไอซี CMOS ทำหน้าที่ถอดรหัสสัญญาณที่ส่งมาจากไอซีเข้ารหัส โดยอาศัยหลักการง่ายๆคือ กำหนดแอดเดรสของทั้งสองให้ตรงกัน กำหนดอุปกรณ์ภายนอกที่มาต่อรวม (R,C) ให้แมทซ์กัน โดยมีสูตรในการคำนวณเมื่อกำหนดเงื่อนไขที่ได้กล่าวมาแล้ว ซึ่งเอาต์พุตที่ได้จะเป็น High อยู่ชั่วขณะหนึ่ง ซึ่งสามารถนำไปควบคุมหรือแสดงผลได้

รายละเอียดการใช้งานหน้าที่ขาต่างๆของ IC MC145027



รูปที่ 2.13 ขาต่างๆของ MC145027 (DECODER)

-ขา 1 ถึง ขา 5 และขา 12,13,14,15 (A1 ถึง A9)

เป็นขาที่ทำหน้าที่กำหนดแอดเดรสของไอซีถอดรหัส กำหนดได้ 3 สถานะคือ High, Low, Open และขา 15,14,13,12 เป็นขา Data Output คือ D1,D2,D3,D4 ตามลำดับ

-ขา 6,7,10 (R1,C1,R2,C2)

เอกสารนี้เป็นเอกสารที่สงวนไว้สำหรับการใช้งานเพื่อการศึกษาเท่านั้น ไม่อนุญาตให้นำไปใช้ประโยชน์ด้านการค้า ไม่ว่าจะกรณีใดๆ ทั้งสิ้น อีกทั้งห้ามมิให้ตัดแปลงเนื้อหาและต้องอ้างอิงถึงเจ้าของเอกสารทุกครั้งที่มีการนำไปใช้

เป็นขาที่ต่อกับอุปกรณ์ภายนอก โดยอุปกรณ์เหล่านี้จะมีสูตรในการคำนวณหาค่าของอุปกรณ์เพื่อให้สัมพันธ์กับความถี่ของไอซีเข้ารหัส

-ขา 11 (VT)

เป็นขาเอาต์พุตของ ไอซีถอดรหัส จะให้สภาวะเป็น High ค่ำเมื่อรหัสของไอซีทั้งสองตัวตรงกัน

-ขา 8 (VSS)

ปกติใช้งานต่อกราวนด์

-ขา 10 (VDD)

ปกติใช้งานต่อแหล่งจ่ายไฟ

การใช้งานไอซีเข้ารหัส (IC ENCODER MC145026) และไอซีถอดรหัส (IC DECODER MC145027)

1.การคำนวณค่าความถี่ให้กับ MC145026 (ENCODER) เสียก่อน โดยใช้สูตร

$$f_{a.s.c} = \frac{1}{2.3R_{tc}C_{tc}'}$$

$$R1C1 = 3.95R_{tc}C_{tc}$$

$$R2C2 = 77R_{tc}C_{tc}$$

จาก DATA SHEET กำหนดให้ $C_{tc}' = C_{tc} + 20\text{pF}$

และ R_{tc} มีค่าไม่ต่ำกว่า 10K ; $R_s = 2R_{tc}$

$R1$ มีค่ามากกว่าหรือเท่ากับ 10 K

$C1$ มีค่ามากกว่าหรือเท่ากับ 400 pF ขึ้นไป

$R2$ มีค่ามากกว่าหรือเท่ากับ 100 K

$C2$ มีค่ามากกว่าหรือเท่ากับ 700 pF ขึ้นไป

2.การคำนวณค่าให้กับ MC145026 และ MC145027 (DECODER) คำนวณได้จากสูตร

$f_{osc}(kHz)$	R_{tc}	C_{tc}'	R_s	$R1$	$C1$	$R2$	$C2$
362	10k	120pF	20k	10k	470pF	100k	910pF
181	10k	240pF	20k	10k	910pF	100k	1800pF
88.7	10k	490pF	20k	10k	2000pF	100k	3900pF
42.6	10k	1020pF	20k	10k	3900pF	100k	7500pF
21.5	10k	2020pF	20k	10k	8200pF	100k	0.015 μF
8.53	10k	5100pF	20k	10k	0.02pF	200k	0.02 μF
1.71	50k	5100pF	100k	50k	0.02pF	200k	0.1 μF

ตารางที่ 2.2 ค่า R/C (ค่า R และ C มีค่าผิดพลาด 5%)

เอกสารนี้เป็นเอกสารที่สงวนไว้สำหรับการใช้งานเพื่อการศึกษาเท่านั้น ไม่อนุญาตให้นำไปใช้ประโยชน์ด้านการค้าไม่ว่ากรณีใดๆ ทั้งสิ้น อีกทั้งห้ามมิให้ตัดแปลงเนื้อหาและต้องอ้างอิงถึงเจ้าของเอกสารทุกครั้งที่มีการนำไปใช้

2.6 การมอดูเลตสัญญาณดิจิทัล

เทคนิคการมอดูเลตสัญญาณดิจิทัลนี้มี 3 แบบด้วยกันคือ

1. แอมพลิจูดชิฟต์คีย์อิง (AMPLITUDE SHIFT KEYING ASK)
2. ฟรีควนซีชิฟต์คีย์อิง (FREQUENCY SHIFT KEYING FSK)
3. เฟสชิฟต์คีย์อิง (PHASE SHIFT KEYING PSK)

คลื่นพาห้ในย่านความถี่วิทยุ กำหนดได้โดย

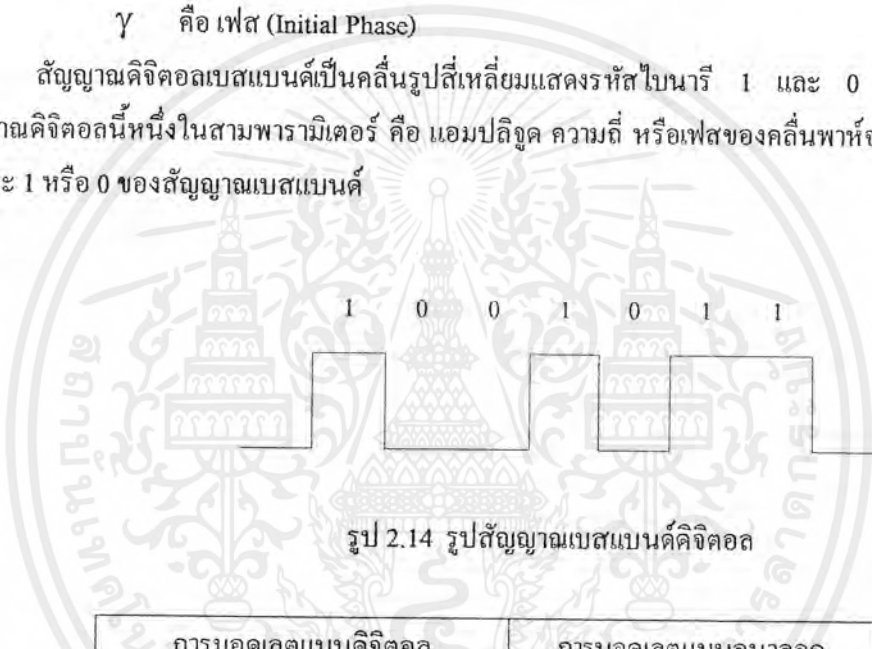
$$\text{คลื่นพาห้} = A \cos(2\pi f_c t + \gamma) \tag{2.6.1}$$

ในที่นี้ A คือ แอมพลิจูดของคลื่นพาห้

f_c คือ ความถี่คลื่นพาห้

γ คือ เฟส (Initial Phase)

สัญญาณดิจิทัลแบบแบนด์เป็นคลื่นรูปสี่เหลี่ยมแสดงรหัสไบนารี 1 และ 0 ในการมอดูเลตสัญญาณดิจิทัลหนึ่งในสามพารามิเตอร์ คือ แอมพลิจูด ความถี่ หรือเฟสของคลื่นพาห้จะเปลี่ยนไปตามสถานะ 1 หรือ 0 ของสัญญาณแบบแบนด์



รูป 2.14 รูปสัญญาณแบบแบนด์ดิจิทัล

การมอดูเลตแบบดิจิทัล	การมอดูเลตแบบอนาลอก
ASK AMPLITUDE SHIFT KEYING	AM
FSK FREQUENCY SHIFT KEYING	FM
PSK PHASE SHIFT KEYING	PM

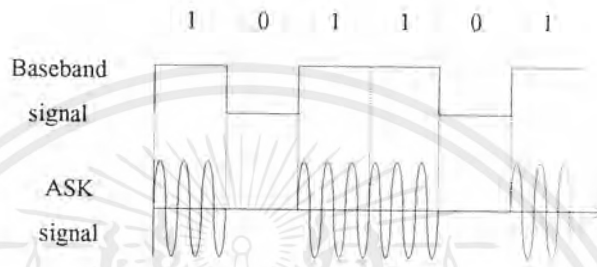
ตาราง 2.3 เปรียบเทียบวิธีการมอดูเลตแบบดิจิทัลและอนาลอก

เอกสารนี้เป็นเอกสารที่สงวนไว้สำหรับการใช้งานเพื่อการศึกษาเท่านั้น ไม่อนุญาตให้นำไปใช้ประโยชน์ด้านการค้าไม่ว่ากรณีใดๆ ทั้งสิ้น อีกทั้งห้ามมิให้ตัดแปลงเนื้อหาและต้องอ้างอิงถึงเจ้าของเอกสารทุกครั้งที่มีการนำไปใช้

แอมพลิจูดชีฟต์คีย์อิง (ASK)

หรือบางครั้งเรียกว่า ออนออฟคีย์อิง (ON OFF KEYING: OOK) เพราะว่าคลื่นพาห์ถูก สวิตช์ เปิด/ปิด ตามสัญญาณที่เป็น 1 หรือ 0 ถ้าคลื่นพาห์กำหนดโดย $A\cos 2\pi f_c t$ ดังนั้นสัญญาณแอสเค จะ กำหนดได้เป็น

$$S(t) = \begin{cases} A\sin 2\pi f_c t & \text{เมื่อสัญญาณเป็น 1} \\ 0 & \text{เมื่อสัญญาณเป็น 0} \end{cases} \quad (2.6.2)$$

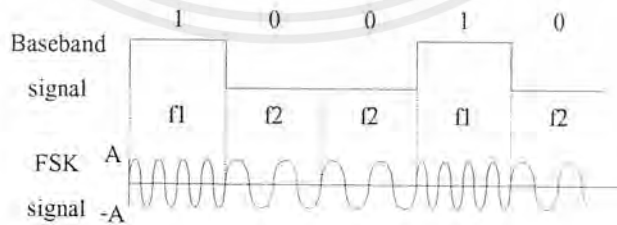


รูปที่ 2.15 แสดงแอมพลิจูดชีฟต์คีย์อิง

ฟริควนซีชีฟต์คีย์อิง (FSK)

ความถี่คลื่นพาห์จะมี 2 ความถี่ เช่น ความถี่ f_1 สำหรับความถี่ที่เป็น 1 และความถี่ f_2 สำหรับความถี่ที่เป็น 0

$$S(t) = \begin{cases} A\sin 2\pi f_1 t & \text{สำหรับสัญญาณที่เป็น 1} \\ A\sin 2\pi f_2 t & \text{สำหรับสัญญาณที่เป็น 0} \end{cases} \quad (2.6.3)$$

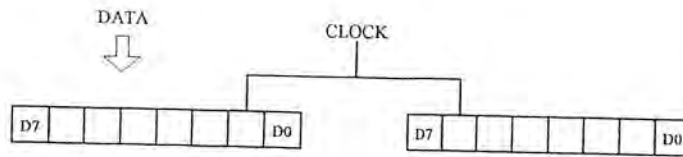


รูปที่ 2.16 แสดงฟริควนซีชีฟต์คีย์อิง

เอกสารนี้เป็นเอกสารที่สงวนไว้สำหรับการใช้งานเพื่อการศึกษาเท่านั้น ไม่อนุญาตให้นำไปใช้ประโยชน์ด้านการค้า ไม่ว่ากรณีใดๆ ทั้งสิ้น อีกทั้งห้ามมิให้ตัดแปลงเนื้อหาและต้องอ้างอิงถึงเจ้าของเอกสารทุกครั้งที่มีการนำไปใช้

ซิงโครนัส (Synchronous)

เป็นการส่งข้อมูลที่ใช้สัญญาณนาฬิกาตัวเดียวกัน จะทำให้ตัวรับรับข้อมูลเหมือนกับข้อมูลตัวส่ง

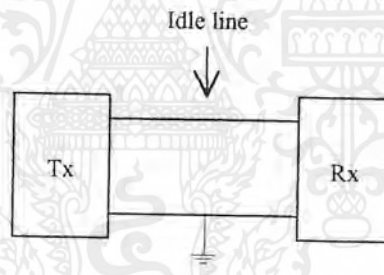


รูปที่ 2.18 แสดงการส่งข้อมูลที่ใช้สัญญาณนาฬิกาตัวเดียวกัน

แต่ในความเป็นจริงในการส่งระยะทางไกล เราไม่สามารถทำให้สัญญาณนาฬิกาทั้งตัวรับและตัวส่งเท่ากันได้ เพราะมีการเลื่อนเฟสของสัญญาณ ดังนั้นเราจึงต้องใช้วิธีการคือ แบบอะซิงโครนัส

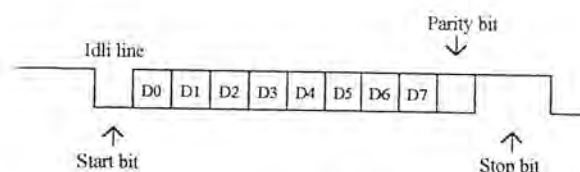
อะซิงโครนัส (Asynchronous)

เป็นการส่งข้อมูลที่ใช้สัญญาณนาฬิกาตัวส่งและตัวรับเป็นคนละตัวกัน แต่จะทำให้มีค่าไถ่เดียวกัน และสร้างเฟรม (Frame) ของข้อมูลมาเป็นตัวบอກให้ตัวรับทราบส่วนต่างๆของข้อมูล



รูปที่ 2.19 แสดงการเชื่อมต่อระหว่างตัวส่งกับตัวรับ

จากรูปที่ 2.19 ระหว่างตัวรับและตัวส่งจะมีสายสองเส้นเชื่อมต่อกัน โดยเส้นหนึ่งจะเป็นไอดีลไลน์ (Idle Line) จะเป็นสายที่มีสัญญาณ High เมื่อพร้อมจะรับข้อมูล ส่วนอีกเส้นหนึ่งจะเป็นกราวนด์

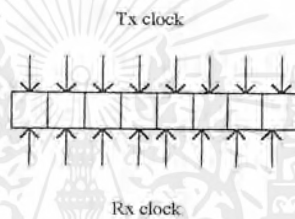


รูปที่ 2.20 แสดงองค์ประกอบของเฟรม

เอกสารนี้เป็นเอกสารที่สงวนไว้สำหรับการใช้งานเพื่อการศึกษาเท่านั้น ไม่อนุญาตให้นำไปใช้ประโยชน์ด้านการค้าไม่ว่ากรณีใดๆ ทั้งสิ้น อีกทั้งห้ามมิให้ตัดแปลงเนื้อหาและต้องอ้างอิงถึงเจ้าของเอกสารทุกครั้งที่มีการนำไปใช้

จากรูปที่ 2.20 องค์ประกอบของเฟรมประกอบด้วย บิตเริ่มต้น (start bit) เป็นส่วนที่บอกให้ตัวรับทราบว่าพร้อมส่งข้อมูล ซึ่งหลังจากบิตเริ่มต้นจะเป็นข้อมูล (data) ที่ต้องการส่ง และส่วนต่อไปเป็นพาริตีบิต (parity bit) เป็นส่วนที่ใช้ตรวจสอบ และส่วนสุดท้ายเป็นบิตสิ้นสุด (stop bit) เป็นส่วนทำให้ตัวรับทราบว่าสิ้นสุดเฟรมแล้ว โดยบิตสิ้นสุดจะมีความยาวเป็น 1,1.5,2 บิต

การส่งข้อมูลเริ่มจากบิตเริ่มต้นที่มีค่าเป็น Low เป็นการแจ้งให้ตัวรับทราบว่าจะมีการส่ง ข้อมูลให้ตัวรับเตรียมพร้อมที่จะรับข้อมูล โดยเริ่มจัดสัญญาณนาฬิกาให้ใกล้เคียงกับตัวส่ง แล้วจึงเริ่มส่งข้อมูลในบิตต่อไป ในความเป็นจริงการส่งบิตแรกที่เข้ามาจะมีสัญญาณนาฬิกาเหมือนกันหรือใกล้เคียงกันมาก แต่ในบิตต่อไปจะเกิดการเลื่อนเฟสเนื่องจากตัวรับอาจใช้สัญญาณนาฬิกาใกล้เคียงที่ช้ากว่าหรือเร็วกว่า แต่ไม่เกินขอบเขตของข้อมูลแต่ละบิตจนไปถึงค่าหนึ่งซึ่งทำให้การเลื่อนจะเกินขอบเขตข้อมูลที่รับได้ถูกต้อง ก็จะทำการหยุดส่งข้อมูลแล้วเริ่มส่งข้อมูลใหม่ เราเรียกวิธีนี้ว่า "รีซิงโครไนซ์ (Resynchronize)"



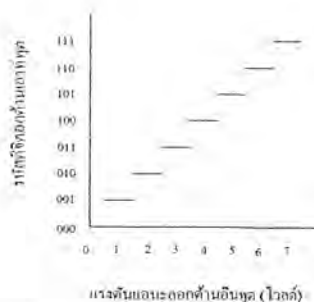
รูปที่ 2.21 แสดงการเลื่อนเฟสของสัญญาณนาฬิกา

2.8 พื้นฐานการทำงานของเอ/ดี คอนเวอร์เตอร์ (A/D converter)

กระบวนการต่างๆที่เกิดขึ้นตามธรรมชาติส่วนใหญ่หากนำมาแปรค่าเป็นสัญญาณทางไฟฟ้ามักเป็นสัญญาณที่อยู่ในรูปของแรงดันหรือกระแส หรือแม้ก็เป็นลักษณะของค่าความต้านทาน ลักษณะที่ได้จะเป็นสัญญาณอนาลอก ซึ่งไม่สามารถนำไปใช้กับคอมพิวเตอร์โดยตรงได้ จึงจำเป็นต้องมีวงจรแปลงสัญญาณอนาลอกเป็นสัญญาณดิจิทัล เราเรียกวงจรนี้ว่า "เอ/ดี คอนเวอร์เตอร์"

หลักการเบื้องต้นของการแปลงสัญญาณอนาลอกเป็นสัญญาณดิจิทัล

หากนำเอาเอ/ดีขนาด 3 บิต มาเขียนกราฟคุณสมบัติระหว่างสัญญาณอินพุตกับเอาต์พุต สมมติว่าแรงดันอินพุต V_i เปลี่ยนค่าจาก 0-7 โวลต์ และได้สัญญาณเอาต์พุตที่เป็นสัญญาณดิจิทัลจาก 000-111 ดังแสดงในรูปที่ 2.22



รูปที่ 2.22 แสดงกราฟคุณสมบัติของเอ/ดีขนาด 3 บิต

เอกสารนี้เป็นเอกสารที่สงวนไว้สำหรับการใช้งานเพื่อการศึกษาเท่านั้น ไมอนุญาตให้นำไปใช้ประโยชน์ด้านการค้า ไม่ว่าจะกรณีใดๆ ทั้งสิ้น อีกทั้งห้ามมิให้ตัดแปลงเนื้อหาและต้องอ้างอิงถึงเจ้าของเอกสารทุกครั้งที่มีการนำไปใช้

ค่าความละเอียดของเอ/ดี

ค่าความละเอียดของเอ/ดี หาได้จากการเปลี่ยนแปลงค่าแรงดันอินพุตแล้วทำให้สัญญาณดิจิตอลเปลี่ยนค่าบิตนัยสำคัญต่ำสุดไป

$$\text{ความละเอียด} = \text{ค่าแรงดันอินพุตต่อบิต} = \text{ค่าเต็มสเกลหารด้วย } 2^N - 1$$

หรืออ้างอิงถึงเรื่องเอ/ดี จะได้ว่า

$$\text{ความละเอียด} = 2^N$$

โดยที่ N คือจำนวนบิตของวงจร

ถ้าสมมุติว่ามีเอาต์พุต 8 เส้น โดยเอาต์พุตแต่ละเส้นแสดงสถานะทางลอจิกเป็น 0 หรือ 1 จะมีความแตกต่างทางรหัสไบนารีทั้งหมด 2^8 หรือ 256 รหัส เช่น ถ้าตัวแปลงสัญญาณมีความแตกต่างทางรหัสเอาต์พุต 256 ระดับ สัญญาณอินพุตถูกแทนเป็นไบนารีจาก 00000000 ถึง 11111111 ถ้าอินพุตเริ่มต้นจาก 0-5 V ดังนั้นค่าความละเอียดเท่ากับ

$$\frac{5V}{256} = 0.0195V$$

ชนิดของเอ/ดี คอนเวอร์เตอร์

วงจรเอ/ดี คอนเวอร์เตอร์ จำแนกชนิดได้ดังนี้

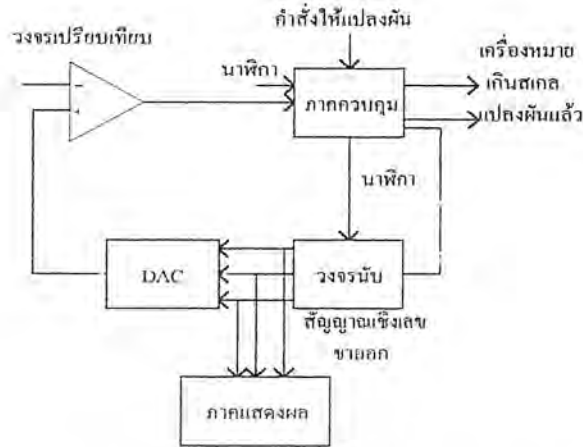
1. เอ/ดีชนิดป้อนกลับขนาน
2. เอ/ดีชนิดอินทิเกรต
3. เอ/ดีชนิดพร้อมกัน
4. เอ/ดีชนิดป้อนกลับเรียงลำดับ

ในที่นี้จะกล่าวถึงวงจรเอ/ดีชนิดป้อนกลับแบบขนานเท่านั้น ซึ่งเป็นชนิดที่ใช้ในโครงการนี้

เอ/ดีชนิดป้อนกลับแบบขนาน

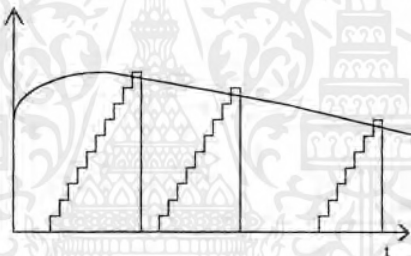
หลักการคือ ใช้วงจรเอ/ดีในระบบป้อนกลับ วงจรเอ/ดีที่เป็นวงจรประมวลผลสำเร็จรูปส่วนใหญ่ จะให้หลักการนี้ เอ/ดีชนิดป้อนกลับแบบขนานยังแบ่งออกเป็น

- เอ/ดีขั้นบันได
- เอ/ดีตามรอย (tracking)
- เอ/ดีที่ใช้การประมาณค่าโดยลำดับ (successive approximation)



รูปที่ 2.23 แสดงบล็อกไดอะแกรมของวงจรเอ็ดซีขึ้นบันได หรือตามรอย

รูปที่ 2.23 แสดงแผนภาพของวงจรเอ็ดซีขึ้นบันได หรือตามรอย แล้วแต่ว่าวงจรนับเป็นแบบธรรมดาหรือแบบนับขึ้นลง

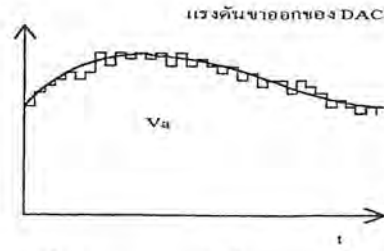


รูปที่ 2.24 แสดงรูปคลื่นของวงจรเอ็ดซีขึ้นบันได

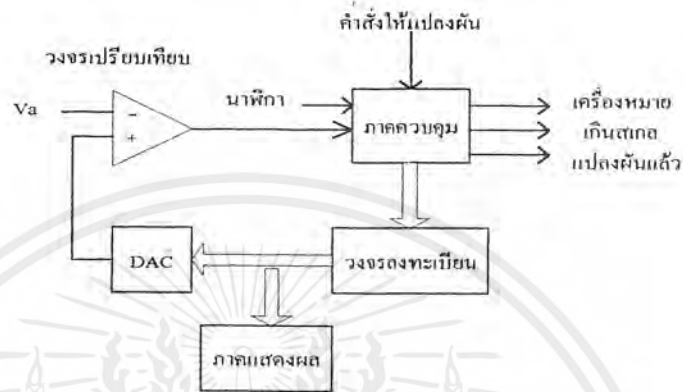
ในกรณีของวงจรเอ็ดซีขึ้นบันไดเมื่อมีค่าตั้งให้แปลงผัน วงจรนับจะตั้งต้นใหม่ (reset) สัญญาณนาฬิกาจะทำให้วงจรนับนับขึ้นไปเรื่อยๆ ผลคือ แรงดันออกของดีเอซีจะเป็นรูปขึ้นบันไดจนกระทั่งขึ้นสูงกว่า V_{u} วงจรเปรียบจะบอกให้วงจรควบคุมหยุดสัญญาณนาฬิกาที่ส่งให้วงจรนับจนกว่าจะมีค่าตั้งให้แปลงผันใหม่ หรือไม่วงจรเปรียบเทียบจะบอกให้วงจรควบคุมตั้งต้นวงจรนับใหม่ และวงจรจะเริ่มค้นกระบวนการแปลงผันใหม่ทันที

ถ้าเราใช้วงจรนับขึ้น-ลง และให้วงจรเปรียบเทียบทำหน้าที่ตัดสินใจว่าจะนับขึ้นหรือนับลง ถ้าแรงดันออกของดีเอซีต่ำกว่า V_{u} ให้นับขึ้น แรงดันออกของดีเอซีจะเพิ่มขึ้นตามรอย V_{u} ไป เมื่อแรงดันออกของดีเอซีสูงกว่า V_{u} วงจรจะนับลง และแรงดันออกของดีเอซีจะลดลงเช่นกัน สังเกตได้ว่ากรณีที่ V_{u} มีค่าคงตัวหรือเกือบคงตัว แรงดันออกของดีเอซีจะขึ้นลงทุกๆ จังหวะของสัญญาณนาฬิกา ทำให้เกิดความไม่แน่นอนในบิตค่าสุดของสัญญาณเชิงเลข (digital signal) ขาออก อย่างไรก็ตามก็ตวงจรเอ็ดซีตามรอยมีข้อน่าสนใจคือ เวลาการแปลงผัน (conversion time) จะสั้น และสัญญาณเชิงเลขที่ได้จะแทนรูปคลื่นของสัญญาณเชิงอุปมาน (analog signal) ได้ดีกว่า

เอกสารนี้เป็นเอกสารที่สงวนไว้สำหรับการใช้งานเพื่อการศึกษาเท่านั้น ไม่อนุญาตให้นำไปใช้ประโยชน์ด้านการค้าไม่ว่ากรณีใดๆ ทั้งสิ้น อีกทั้งห้ามมิให้ตัดแปลงเนื้อหาและต้องอ้างอิงถึงเจ้าของเอกสารทุกครั้งที่มีการนำไปใช้

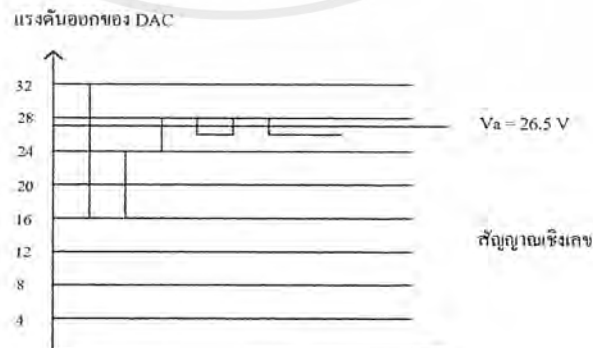


รูปที่ 2.25 แสดงรูปคลื่นของวงจรเอ็ดซีตามรอย



รูปที่ 2.26 แสดงบล็อกโคอะแกรมของวงจรเอ็ดซีที่ใช้การประมาณค่าโดยลำดับ

รูปที่ 2.26 จะสังเกตว่าเราใช้วงจรทะเบียน (Register) แทนวงจรนับ การควบคุมการทำงานของวงจรจะมีขั้นตอนที่ยุ่งยากกว่าเอ็ดซีตามรอย ตัวอย่างเช่น เราต้องการแปลงผัน $V_x = 26.5$ โวลต์ เป็นสัญญาณเชิงเลข 6 บิต สมมติว่าบิตนัยสำคัญต่ำสุด (LSB) สมัยกับ 1 โวลต์ ดังนั้นเลข 100000 จะสมัยกับ 32 โวลต์ ซึ่งเทียบแล้วจะใหญ่กว่า V_x ดังนั้นบิตนัยสำคัญสูงสุดเท่ากับศูนย์ (MSB = 0) ให้บิตที่มีนัยสำคัญรองลงมาเป็น "1" เลข 010000 จะสมัยกับ 16 โวลต์ ซึ่งเล็กกว่า V_x ให้บิตนี้ไว้เป็น 1 และให้บิตรองลงมาเป็น 1 ด้วย เลข 011000 สมัยกับ 24 โวลต์ เทียบ 24 โวลต์กับ V_x และจะเป็นเช่นนี้เรื่อยๆ ไปจนครบทุกบิต (ดูรูปคลื่นในรูปที่ 2.27)



รูปที่ 2.27 แสดงรูปคลื่น

เอกสารนี้เป็นเอกสารที่สงวนไว้สำหรับการใช้งานเพื่อการศึกษาเท่านั้น ไม่อนุญาตให้นำไปใช้ประโยชน์ด้านการค้าไม่ว่ากรณีใดๆ ทั้งสิ้น อีกทั้งห้ามมิให้ตัดแปลงเนื้อหาและต้องอ้างอิงถึงเจ้าของเอกสารทุกครั้งที่มีการนำไปใช้

2.9 โครงสร้างภายในของ MCS-51 และการเขียนโปรแกรมเบื้องต้น

คุณสมบัติทั่วไปของไมโครคอนโทรลเลอร์ MCS-51

คุณสมบัติทั่วไปที่สำคัญของ ไมโครคอนโทรลเลอร์ MCS-51 มีดังนี้

- เป็น ไมโครคอนโทรลเลอร์ขนาด 8 บิต
- มีวงจรถอดสวิตช์และวงจรถักสัญญาณนาฬิกาภายในไอซี
- มีขาสัญญาณอินพุตเอาต์พุตจำนวน 32 บิต
- สามารถเชื่อมต่อหน่วยความจำข้อมูลภายนอก (external data memory) โดยอ้างตำแหน่ง

แอดเดรสได้ถึง 64 K

- มีหน่วยความจำโปรแกรมภายในตัว (on-chip pro-gram memory) ขนาด 4 K โดยเฉพาะเบอร์ 8052 จะมีหน่วยความจำในส่วนนี้ถึง 8 K สำหรับเบอร์ 8031 และ M 8032 จะไม่มีหน่วยความจำในส่วนนี้

- มีหน่วยความจำข้อมูลภายในตัว (on-chip data memory) ขนาด 128 ไบต์ โดยเฉพาะเบอร์ 8032 และ 8052 จะมีหน่วยความจำในส่วนนี้ถึง 256 ไบต์

ชื่อเบอร์	หน่วยความจำภายใน		จำนวนไทมเมอร์ / เคาน์เตอร์	จำนวนอินเทอร์รัปต์
	เก็บ โปรแกรม	เก็บข้อมูล		
8052 AH	8K × 8 ROM	256 × 8 RAM	3 × 16 – Bit	6
8051 AH	4K × 8 ROM	128 × 8 RAM	2 × 16 – Bit	5
8051	4K × 8 ROM	128 × 8 RAM	2 × 16 – Bit	5
8032 AH	ไม่มี	256 × 8 RAM	3 × 16 – Bit	6
8031 AH	ไม่มี	128 × 8 RAM	2 × 16 – Bit	5
8031	ไม่มี	128 × 8 RAM	2 × 16 – Bit	5
8751 H	4K × 8 EPROM	128 × 8 RAM	2 × 16 – Bit	5
8751 H-12	4K × 8 EPROM	128 × 8 RAM	2 × 16 – Bit	5

ตารางที่ 2.4 แสดงคุณสมบัติของไมโครคอนโทรลเลอร์แต่ละเบอร์ในตระกูล MCS-51

- หน่วยความจำข้อมูลภายในบางส่วนสามารถเข้าถึงข้อมูลระดับบิตได้ด้วย ทำให้การควบคุมหรือการตรวจสอบสถานะบิตทำได้ง่าย ส่งผลให้การเขียนโปรแกรมทำได้ง่ายมากขึ้น
- มีไทม์เมอร์ / เคาน์เตอร์ (timer / counter) ขนาด 16 บิต จำนวน 2 ตัว โดยเฉพาะเบอร์ 8032 หรือ 8052 จะมีไทม์เมอร์ / เคาน์เตอร์จำนวน 3 ตัว

เอกสารนี้เป็นเอกสารที่สงวนไว้สำหรับการใช้งานเพื่อการศึกษาเท่านั้น ไม่อนุญาตให้นำไปใช้ประโยชน์ด้านการค้าไม่ว่ากรณีใดๆ ทั้งสิ้น อีกทั้งห้ามมิให้ตัดแปลงเนื้อหาและต้องอ้างอิงถึงเจ้าของเอกสารทุกครั้งที่มีการนำไปใช้

- การอินเทอร์เน็ตสามารถทำได้จาก 5 แห่งกำเนิดโดยเฉพาะเบอร์ 8032 และ 8052 จะทำการอินเทอร์เน็ตได้จาก 6 แห่งกำเนิด โดยการอินเทอร์เน็ตยังสามารถจัดระดับความสำคัญได้เป็น 2 ระดับ
 - มีพอร์ตสื่อสารอนุกรมภายในตัวเอง ซึ่งทำงานเป็นแบบฟูลดูเพล็กซ์ (full duplex)
 - มีคำสั่งในการคำนวณทางคณิตศาสตร์และทางตรรกศาสตร์
 - คำสั่งโดยส่วนใหญ่ใช้เวลาการทำงานเพียง 1 ไมโครวินาที เมื่อใช้คริสตอลความถี่ 12 เมกะเฮิร์ตซ์
 - ต้องการแหล่งจ่ายไฟ 5 โวลต์ เพียงชุดเดียว



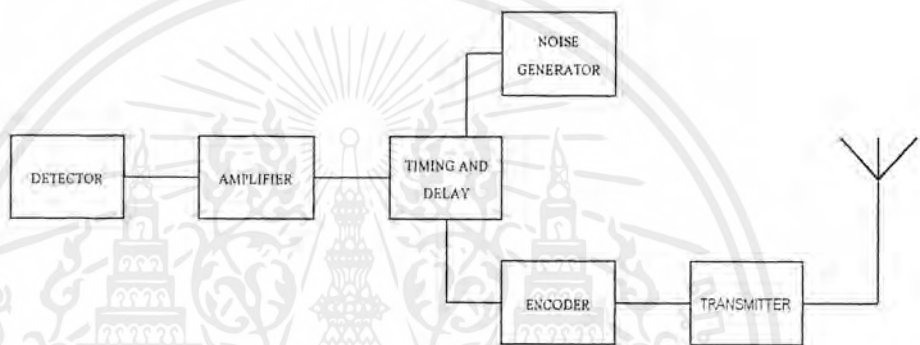
เอกสารนี้เป็นเอกสารที่สงวนไว้สำหรับการใช้งานเพื่อการศึกษาเท่านั้น ไม่อนุญาตให้นำไปใช้ประโยชน์ด้านการค้าไม่ว่ากรณีใดๆ ทั้งสิ้น อีกทั้งห้ามมิให้ตัดแปลงเนื้อหาและต้องอ้างอิงถึงเจ้าของเอกสารทุกครั้งที่มีการนำไปใช้

บทที่ 3

การคำนวณและการสร้าง

3.1 การสร้างวงจรถางภาคส่ง

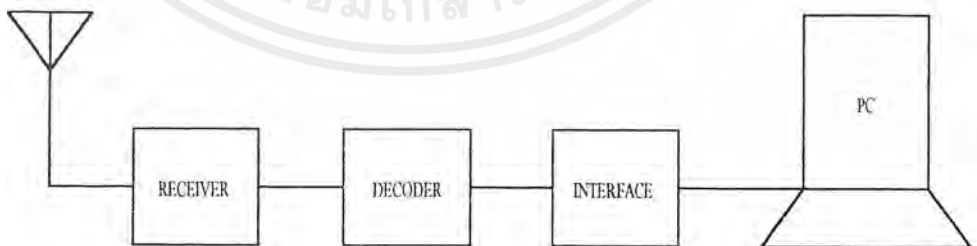
ภาคส่งประกอบด้วยวงจรดีเทคเตอร์ซึ่งทำหน้าที่เป็นตัวตรวจจับการเคลื่อนไหว โดยอาศัยการดอปเปลอร์ฟรีควเอนซีชิฟต์ (Doppler Frequency Shift) สัญญาณที่กระเพื่อมเพียงเล็กน้อยนี้จะถูกนำไปผ่านวงจรขยายเพื่อขยายสัญญาณให้ใหญ่ขึ้น แล้วนำไปทริกให้วงจรโทมมิ่งและดีเลย์ทำงาน เอาต์พุตจากวงจรโทมมิ่งจะถูกนำไปใช้ในวงจรกำเนิดเสียงและวงจรเข้ารหัสแล้วส่งไปยังเครื่องรับต่อไป บล็อกไดอะแกรมเป็นดังรูปที่ 3.1



รูปที่ 3.1 บล็อกไดอะแกรมของภาคส่ง

3.2 การสร้างวงจรถางภาครับ

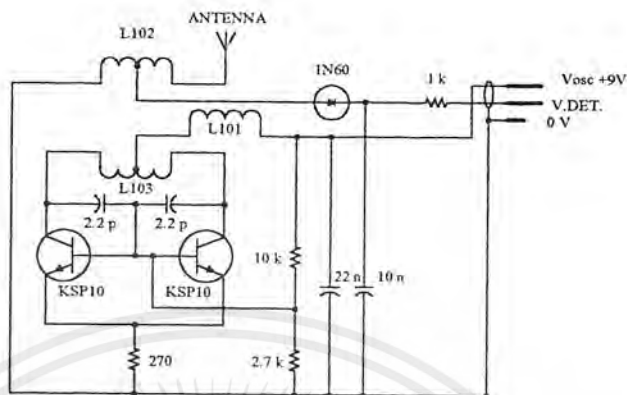
ทางภาครับประกอบด้วยวงจรรับซึ่งเมื่อดีเทคสัญญาณได้แล้วก็จะนำไปถอดรหัส แล้วส่งต่อไปยังพีซี (PC) โดยใช้ไมโครคอนโทรลเลอร์ตระกูล MCS51 ส่วนแสดงผลใช้โปรแกรมวิซวลเบสิก (VISUAL BASIC)



รูปที่ 3.2 บล็อกไดอะแกรมของภาครับและแสดงผล

เอกสารนี้เป็นเอกสารที่สงวนไว้สำหรับการใช้งานเพื่อการศึกษาเท่านั้น ไม่อนุญาตให้นำไปใช้ประโยชน์ด้านการค้าไม่ว่ากรณีใดๆ ทั้งสิ้น อีกทั้งห้ามมิให้ตัดแปลงเนื้อหาและต้องอ้างอิงถึงเจ้าของเอกสารทุกครั้งที่มีการนำไปใช้

3.3 วงจรดีเทคเตอร์

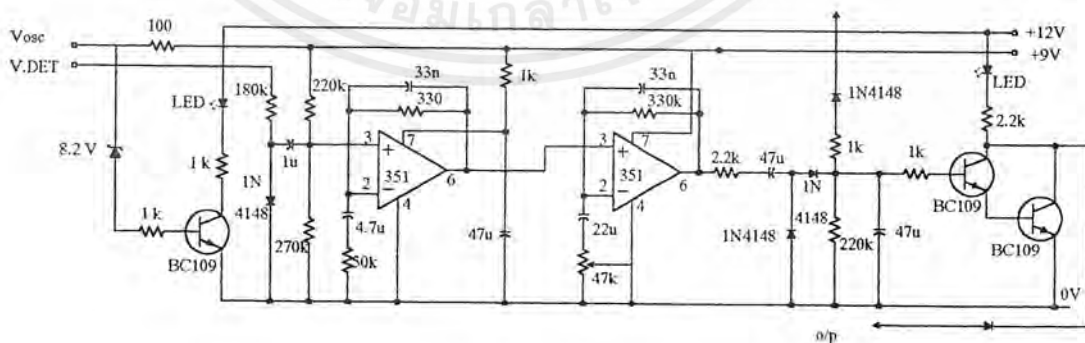


รูปที่ 3.3 วงจรดีเทคเตอร์

วงจรดีเทคเตอร์ที่ใช้ในโครงการนี้เป็นวงจรดีเทคเตอร์ชนิดคูเอชเอฟออสซิลเลเตอร์ ใช้ทรานซิสเตอร์เบอร์ KSP10 ทำหน้าที่ออสซิลเลตความถี่ที่ต้องการในการทำงาน มีตัวเก็บประจุแบบป้อนกลับ และตัวต้านทานแบบไบอัสประกอบรวมอยู่ด้วย

วงจรมีออสซิลเลตความถี่ออกมาตลอดเวลา เมื่อมีสิ่งเคลื่อนไหวตัดผ่านคลื่นวงจรจะสามารถดีเทคสัญญาณออกมาได้ และจะส่งสัญญาณเข้าสู่วงจรขยายต่อไป ซึ่งสัญญาณที่ออกจากวงจรมีขนาดเล็กมาก

3.4 วงจรขยาย



รูปที่ 3.4 วงจรขยาย

เอกสารนี้เป็นเอกสารที่สงวนไว้สำหรับการใช้งานเพื่อการศึกษาเท่านั้น ไม่อนุญาตให้นำไปใช้ประโยชน์ด้านการค้าไม่ว่ากรณีใดๆ ทั้งสิ้น อีกทั้งห้ามมิให้ตัดแปลงเนื้อหาและต้องอ้างอิงถึงเจ้าของเอกสารทุกครั้งที่มีการนำไปใช้

สัญญาณอาร์เอฟ (RF) ที่มาจากวงจรดีเทคเตอร์ หลังจากผ่านฟิลเตอร์แล้วจะส่งสัญญาณออกมาเป็นสัญญาณดีซี (DC) เพื่อส่งเข้ามวงจรรขยาย

สำหรับวงจรรขยายนี้จะประกอบด้วย ไอซีเบอร์ 351 เป็นวงจรรขยายแบบไม่กลับเฟส สัญญาณที่ออกมาทางเอาต์พุตของไอซีตัวที่ 2 จะผ่านตัวเก็บประจุค่า 47 ไมโครฟารัด ซึ่งทำหน้าที่เป็น เอซีคัปปลิง (A.C. coupling)

หลักการคำนวณอัตราขยายของวงจรรขยายแบบไม่กลับเฟส

จากสมการที่ 2.2.7 จะสามารถหาอัตราขยายของวงจรรขยายแบบไม่กลับเฟสได้ดังนี้

$$A_F = 1 + \frac{R_2}{R_1}$$

จากรูปวงจรที่ 3.4 จะเห็นได้ว่าที่วงจรรขยายชุดที่ 1 จะมีค่าความต้านทานเป็นดังนี้

$$R_1 = 50k\Omega$$

$$R_2 = 330k\Omega$$

$$A_F = 1 + \frac{330k\Omega}{50k\Omega} \approx 8$$

ดังนั้นอัตราขยายของวงจรรขยายแบบไม่กลับเฟสชุดที่ 1 = 8 เท่า

จากรูปวงจรที่ 3.4 จะเห็นได้ว่าที่วงจรรขยายชุดที่ 2 จะมีค่าความต้านทานเป็นดังนี้

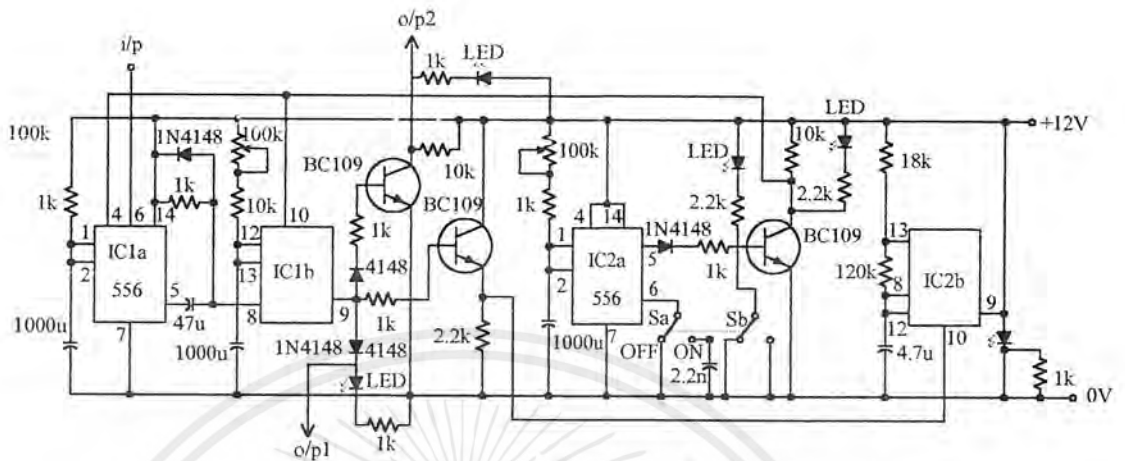
$$R_1 = 47k\Omega$$

$$R_2 = 330k\Omega$$

$$A_F = 1 + \frac{330k\Omega}{47k\Omega} \approx 8$$

ดังนั้นอัตราขยายของวงจรรขยายแบบไม่กลับเฟสชุดที่ 2 = 8 เท่า

3.5 วงจรโทรมิ่ง และดีเลย์



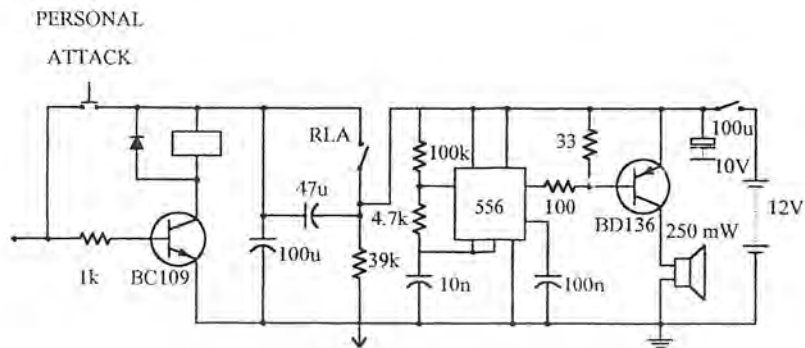
รูปที่ 3.5 วงจรโทรมิ่ง และดีเลย์

วงจรจะประกอบด้วยไอซีเบอร์ 556 จำนวน 2 ตัว จะทำงานต่อเมื่อมีสัญญาณที่เป็น low นั่นก็คือสัญญาณที่เป็น 0 โวลต์ เข้ามาทริกที่ขา 6 ของไอซี เมื่อสัญญาณ 0 โวลต์มาทริก นั้นหมายความว่า เป็นการเริ่มการทำงานของวงจรดีเลย์ ซึ่งจะทำให้มีสัญญาณเอาต์พุตออกมาทางขา 5 สัญญาณเอาต์พุตนี้จะมีสถานะเป็น high ช่วงของสัญญาณเอาต์พุตที่ออกมาจะขึ้นอยู่กับค่าตัวทรานซิสเตอร์ เมื่อช่วงการทำงานของวงจรดีเลย์จบลงจะทำให้สัญญาณเอาต์พุตที่ออกมาทางขา 5 มีสถานะเป็น low

ในวงจรมีสวิตช์ออน-ออฟ ถ้าสวิตช์อยู่ที่สถานะออฟ ขา 6 ของไอซี 556 ตัวที่ 2 จะเป็นกราวด์ ซึ่งจะทำให้เอาต์พุตทางขา 5 มีสถานะเป็น high ทำให้ที่ขาคอลเลคเตอร์ของทรานซิสเตอร์ BC109 มีสถานะเป็น low ที่ขาคอลเลคเตอร์นี้ต่ออยู่กับขาริเซ็คของไอซี 556 ตัวแรก ดังนั้นจึงไม่มีการทำงานของวงจรดีเลย์เกิดขึ้น

สัญญาณเอาต์พุตที่ออกมาจากไอซี 556 ตัวที่ 1 จะขับทรานซิสเตอร์เบอร์ BC109 ที่ต่ออยู่กับขาที่ 10 ของไอซี 556 ตัวที่ 2 ซึ่งเอาต์พุตจะต่ออยู่กับ LED เพื่อเป็นตัวบ่งบอกว่ามีการทริกของสัญญาณ เนื่องจากถ้ามีการทริกของสัญญาณ ไฟที่หลอด LED จะติด

3.6 วงจรกำเนิดเสียง



รูปที่ 3.6 วงจรกำเนิดเสียง

วงจรกำเนิดเสียงนี้ใช้ไอซีเบอร์ 555 คือเป็นวงจระอสเตเบิลมัลติไวเบรเตอร์ ขับลำโพงโดยผ่านทางทรานซิสเตอร์ TIP30 จะกำเนิดเสียงเตือนภัยเพื่อทำให้ผู้บุกรุกตกใจ

3.7 วงจรส่งสัญญาณ

- ส่วนเข้ารหัส (Encoder) ใช้ IC เบอร์ MCI45026 เป็นตัวที่ทำการเข้ารหัสที่ขา A1 ถึง A9 โดยรหัสนี้สามารถตั้งได้มี 3 สถานะ คือ High , Low และ Open
- ส่วนมอดูเลต (Modulate) โดยนำเอาความถี่ที่เป็น Sine Wave ซึ่งที่สร้างขึ้นโดยวงจรแทงค์เซอร์กิต (Tank Circuit) ซึ่งมีค่าประมาณ 300 เมกะเฮิร์ตซ์ มามอดูเลต กับสัญญาณเอาต์พุตที่ออกมาทางขา 15 ของไอซี MCI45026 ซึ่งเป็นสัญญาณที่ผ่านการเข้ารหัสมาแล้วจะเป็นสัญญาณซีเรียลพัลส์ (Serial Pulse) ขนาด 9 บิต
- ส่วนที่ทำการสร้างความถี่วิทยุ และเปลี่ยนสัญญาณไฟฟ้าเป็นคลื่นแม่เหล็กไฟฟ้าแพร่กระจายออกไปในอากาศโดยใช้วงจรแทงค์เซอร์กิต และในขณะเดียวกันเราก็ใช้ L ในวงจรแทงค์เซอร์กิตเป็นสายอากาศที่ทำการแพร่กระจายคลื่นสนามแม่เหล็กออกไปในอากาศด้วย

ในกรณีที่ข้อมูลที่ส่งจากตัวไอซีเบอร์ MCI45026 มีลอจิกเป็น “0” ซึ่งเป็นระดับที่ไม่สามารถทำให้ทรานซิสเตอร์เบอร์ KSP10 ชนิด NPN นำกระแสได้ เพราะไม่มีแรงดันไบอัสที่ขาเบสที่สูงพอที่จะทำให้ทรานซิสเตอร์ตัวนี้นำกระแสได้ เมื่อทรานซิสเตอร์เบอร์ KSP10 ยังไม่ทำงาน วงจรออสซิลเลเตอร์ที่ต่ออยู่ในวงจรก็จะไม่ทำงานด้วย ดังนั้นในกรณีจะไม่มีกระแสที่ความถี่ของวงจรรอออกอากาศในกรณีตรงกันข้ามถ้าข้อมูลที่ส่งจากตัว IC เบอร์ MCI45026 มีลอจิกเป็น “1” ก็จะทำให้ทรานซิสเตอร์เบอร์ KSP10 ทำงานเนื่องจากมีระดับแรงดันไบอัสที่สูงพอ ดังนั้นวงจรรออสซิลเลเตอร์ ที่ต่ออยู่ในวงจรจึงทำงานกำเนิดคลื่นความถี่ย่านยูเอชเอฟออกมา

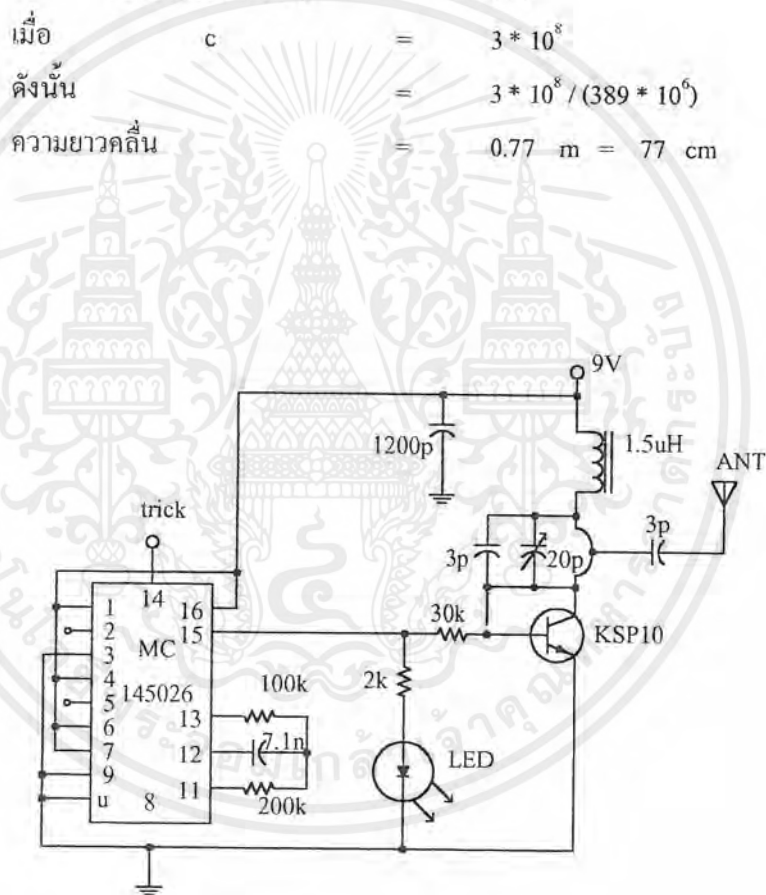
เอกสารนี้เป็นเอกสารที่สงวนไว้สำหรับการใช้งานเพื่อการศึกษาเท่านั้น ไม่อนุญาตให้นำไปใช้ประโยชน์ด้านการค้าไม่ว่ากรณีใดๆ ทั้งสิ้น อีกทั้งห้ามมิให้ตัดแปลงเนื้อหาและต้องอ้างอิงถึงเจ้าของเอกสารทุกครั้งที่มีการนำไปใช้

มีค่าแอมพลิจูดสูงสุดที่ความถี่ประมาณ 400 เมกะเฮิร์ตซ์ คลื่นความถี่ที่กำเนิดขึ้นมาก็จะถูกล่งแพร่กระจายออกไปในอากาศ

ในส่วนของวงจรแอลซีเทงก์จูน (LC tank tune) นั้นค่า L (ค่าเหนี่ยวนำ) นั้นเกิดจากสายทองแดง เราปรับเพียงแค่ตัว C ปรับค่าเท่านั้น ความถี่ที่ออสซิลเลตออกมาจากภาคส่งนั้นจะกระจายออกมาจากตัว L1 ที่ทำจากสายทองแดง และ L2 นั้นจะทำหน้าที่เป็นอาร์เอฟเช็ค (RF Check) หน้าที่หลักของอาร์เอฟเช็ค มีหน้าที่ทำการกันความถี่ที่กำเนิดระหว่างภาคออสซิลเลเตอร์กับภาคจ่ายไฟ เพื่อไม่ให้เกิดการกระจายความถี่ไปในส่วนที่ไม่ต้องการ

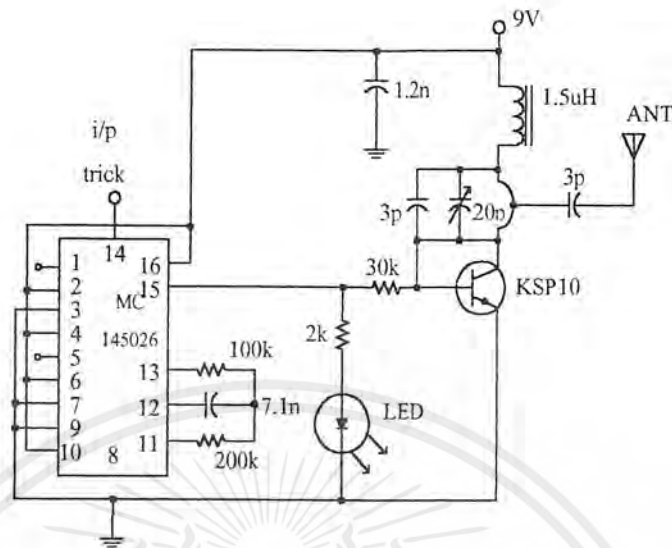
แสดงการคำนวณค่า LC ที่ใช้ในวงจรจูน (tank tune)

ที่เครื่องส่ง	f (Frequency)	=	389 MHz
	λ (ความยาวคลื่น)	=	c / f
เมื่อ	c	=	$3 * 10^8$
ดังนั้น		=	$3 * 10^8 / (389 * 10^6)$
ความยาวคลื่น		=	0.77 m = 77 cm



รูปที่ 3.7 วงจรส่งตัวที่ 1

เอกสารนี้เป็นเอกสารที่สงวนไว้สำหรับการใช้งานเพื่อการศึกษาเท่านั้น ไม่อนุญาตให้นำไปใช้ประโยชน์ด้านการค้าไม่ว่ากรณีใดๆ ทั้งสิ้น อีกทั้งห้ามมิให้ตัดแปลงเนื้อหาและต้องอ้างอิงถึงเจ้าของเอกสารทุกครั้งที่มีการนำไปใช้



รูปที่ 3.8 วงจรส่งตัวที่ 2

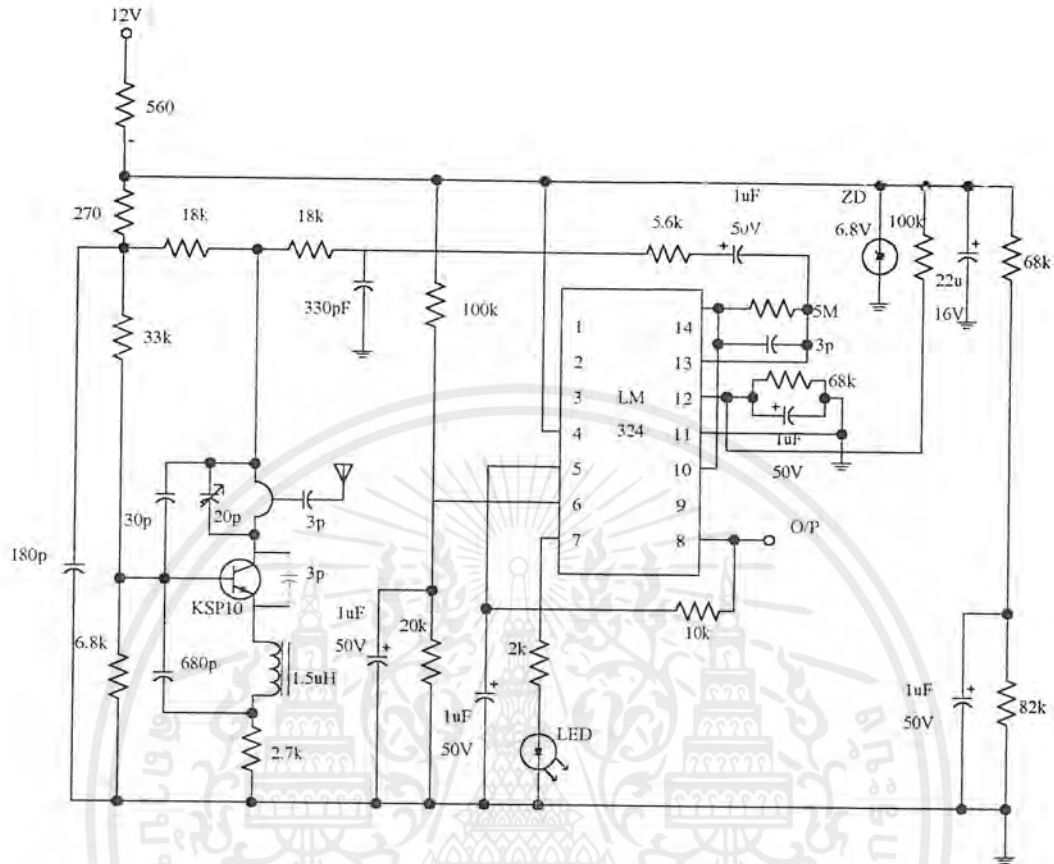
3.8 วงจรภาครับสัญญาณ

วงจรภาครับประกอบด้วย

- ส่วนดีเทคสัญญาณ (Detect) โดยใช้สายอากาศเปลี่ยนจากคลื่นสนามแม่เหล็กเป็นสัญญาณไฟฟ้า แล้วนำสัญญาณนี้มาดีเทคออกเป็นสัญญาณข้อมูลเลขฐาน 2
- ส่วนขยายสัญญาณ โดยสัญญาณที่ดีเทคได้นั้นจะมีระดับที่ต่ำมาก จึงต้องนำมาขยายให้สูงขึ้น แล้วปรับแต่งรูปร่างสัญญาณให้เหมือนต้นฉบับที่ส่งมา โดยใช้ไอซี LM358

การทำงานของวงจรภาครับสัญญาณ

เริ่มที่วงจรส่วนแรกเป็นภาครับสัญญาณวิทยุทำงานในย่านยูเอชเอฟ สายอากาศที่รับสัญญาณอาร์เอฟ เข้ามาที่ Q_1 เพื่อทำการขยายให้สูงขึ้น สัญญาณอาร์เอฟถูกส่งผ่านเข้ามาที่วงจรแทงค์จูน (Tank Tune) วงจรแทงค์จูนจะทำการเลือกความถี่ที่เราต้องการจะรับ ความถี่ต่ำเท่า่นั้นที่ถูกขยายและสัญญาณที่ดีเทคได้ เป็นสัญญาณข้อมูลเลขฐานสอง (Binary) และจะผ่านเข้าไปยังวงจรขยายแบบไม่กลับเฟส (Inverting Amplifier) และ วงจรชmitt - ทรigger (Schmitt - Triger) ทั้งวงจรขยาย และวงจรชmitt-ทรigger จะรวมอยู่ใน ไอซี LM324 ข้อมูลดิจิทัล ที่ผ่านวงจรชmitt-ทรigger แล้ว จะมีรูปสัญญาณเหมือนต้นฉบับที่ส่งมาทางเครื่องส่ง

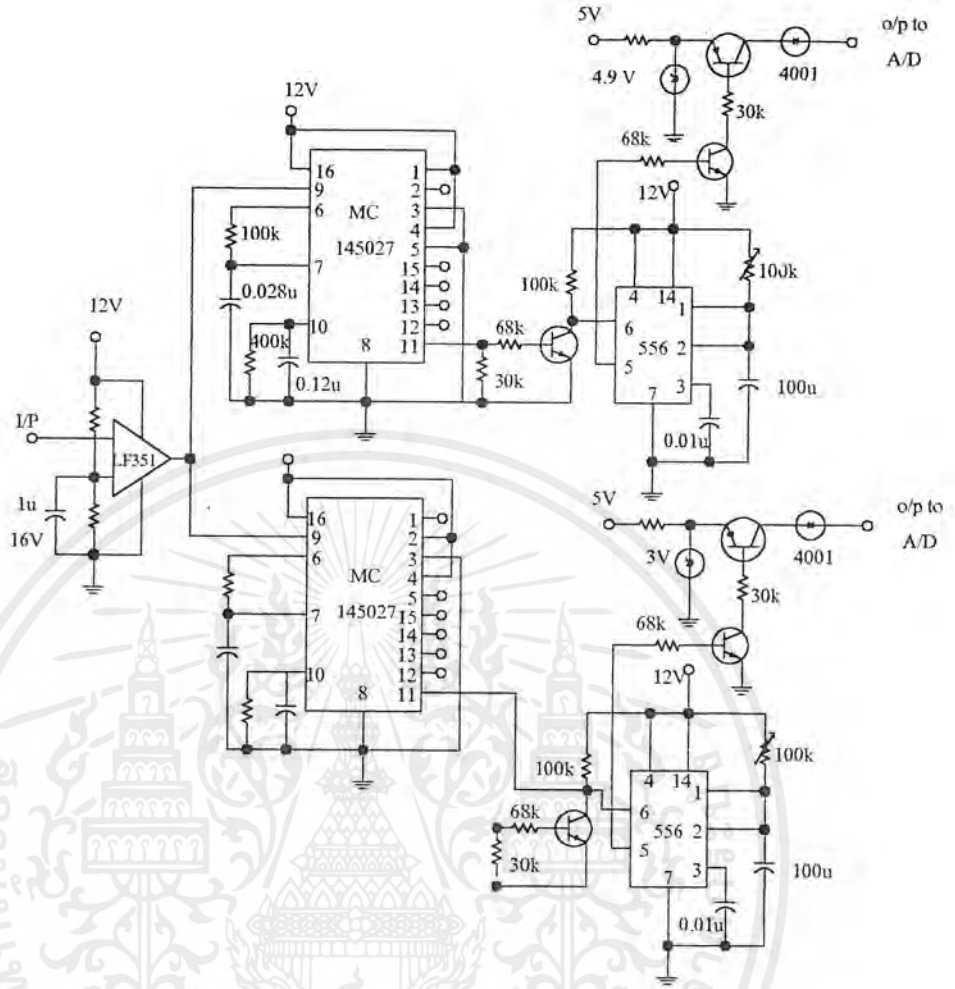


รูปที่ 3.9 วงจรรับ

3.9 วงจรถอดรหัส

ส่วนถอดรหัส โดยจะเอาสัญญาณที่ผ่านการดีเทคแล้วมาเข้าไอซี MCI45027 เป็นตัวถอดรหัส ถ้าการลำดับของรหัสที่ภาคส่งตรงกับภาครับก็จะทำให้เอาต์พุต ที่ขา 11 ของไอซี MCI45027 มีสถานะเป็น High แล้วส่งไปแปลงขนาดให้ต่ำลง โดยกำหนดให้ ถัดถอดรหัสได้จากเครื่องส่งที่ 1 แอมป์ลิจูดของสัญญาณลดลงเหลือ 4.7 โวลต์ ถัดถอดรหัสได้จากเครื่องส่งที่ 2 แอมป์ลิจูดของสัญญาณลดลงเหลือ 2.9 โวลต์

วงจรเป็นดังรูปที่ 3.10



รูปที่ 3.10 แสดงวงจรจรรถกรหัส

3.10 วงจรอินเทอร์เฟส

รูปที่ 3.11 แสดงวงจรที่ใช้งานจริงซึ่งประกอบไปด้วยไอซีทั้งหมด 4 ตัว เริ่มต้นจากไอซีเบอร์ ADC0804 เป็นไอซีแปลงสัญญาณอนาลอกเป็นสัญญาณดิจิทัลแบบซิมอสขนาด 8 บิต ซึ่งทำงานแบบประมาณค่าโดยลำดับ สามารถทำงานทั้งหมดได้ภายในตัวของมันเอง ภายในตัวไอซีจะประกอบไปด้วยวงจรสร้างสัญญาณนาฬิกาและกำหนดค่าความถี่ได้จากค่า R และค่า C สัญญาณนาฬิกาสูงสุดที่ใช้กับไอซีนี้คือ 640 กิโลเฮิร์ตซ์ ซึ่งจะใช้เวลาการแปลง 100 ไมโครวินาที โดยมีอัตราการแซมปลิงที่ 10 กิโลเฮิร์ตซ์ ในโหมดการทำงานด้วยตัวเองโดยไม่ต้องมีสัญญาณควบคุมจากภายนอก ขา 2 (ขาRead) กับขา 1 (ขา Chip-Select) ของไอซีจะถูกต่อลงกราวด์ ส่วนขา 5 (ขา Interrupt Output) จะถูกต่อไปยังขา 3 (ขา Write Data Input) เพื่อให้การแปลงและการส่งข้อมูลออกภายนอกเป็นไปอย่างอัตโนมัติ สวิตช์กดคิดป้อนค่าต่อเอาไว้เพื่อทำหน้าที่รีเซ็ตเมื่อให้เครื่องเริ่มทำงานครั้งแรก

เอกสารนี้เป็นเอกสารที่สงวนไว้สำหรับการใช้งานเพื่อการศึกษาเท่านั้น ไม่อนุญาตให้นำไปใช้ประโยชน์ด้านการค้าไม่ว่ากรณีใดๆ ทั้งสิ้น อีกทั้งห้ามมิให้ตัดแปลงเนื้อหาและต้องอ้างอิงถึงเจ้าของเอกสารทุกครั้งที่มีการนำไปใช้

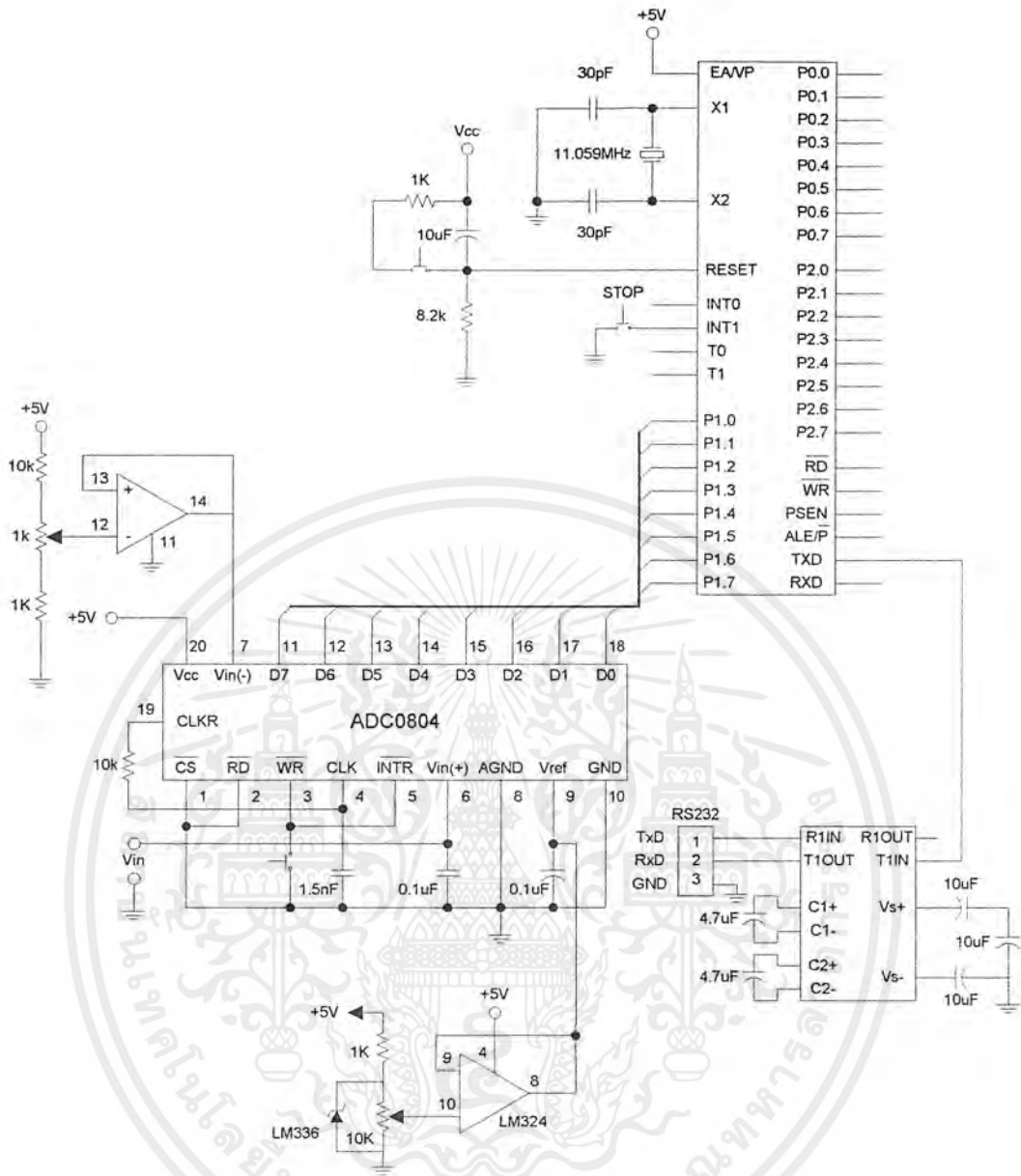
ไอซีเบอร์ LM336 เป็นตัวสร้างแรงดันอ้างอิงให้กับไอซี ADC0804 ซึ่งจะสร้างแรงดันอ้างอิงขึ้นมา 2.5 โวลต์ผ่านไอซีเบอร์ LM324 ซึ่งทำหน้าที่เป็นบัฟเฟอร์โดยมี VR คอยปรับย่านแรงดันอีกทีหนึ่ง สำหรับที่ขา $-V_{in}$ จะใช้ปรับแรงดันศูนย์ ซึ่งจะกำหนดจากค่า R และ ค่า VR ซึ่งจะต่ออยู่ในลักษณะของวงจรแบ่งแรงดันผ่านมายัง ไอซี LM324 เป็นออปแอมป์ทำหน้าที่บัฟเฟอร์ก่อนจะส่งเข้าขา $-V_{in}$

สัญญาณอินพุตที่ป้อนเข้าขา $+V_{in}$ จะถูกแปลงเป็นข้อมูลดิจิตอลขนาด 8 บิต ออกทางขา 11 ถึงขา 18 ค่าของแรงดันในการตรวจวัดอยู่ที่ย่าน 0-5 โวลต์ สามารถแปลงเป็นข้อมูลดิจิตอลได้ 256 ระดับ จากค่า 00000000 จนถึง 11111111 ค่าความแตกต่างระหว่างระดับสัญญาณจะอยู่ที่ 19.53 มิลลิโวลต์ หรือ 5 โวลต์ / 256 ระดับ

ข้อมูลดิจิตอลที่ถูกแปลงออกมาแล้วนี้จะป้อนให้กับไอซีเบอร์ 8951 เป็นไมโครคอนโทรลเลอร์ที่โปรแกรมให้รับค่าเข้าคอมพิวเตอร์ แล้วจะส่งผ่านไปยังไอซีเบอร์ MAX232 เพื่อเปลี่ยนสัญญาณให้เป็นมาตรฐาน RS-232 ซึ่งเป็นมาตรฐานที่ใช้ติดต่อกับพอร์ตอนุกรมของคอมพิวเตอร์



เอกสารนี้เป็นเอกสารที่สงวนไว้สำหรับการใช้งานเพื่อการศึกษาเท่านั้น ไม่อนุญาตให้นำไปใช้ประโยชน์ด้านการค้าไม่ว่ากรณีใดๆ ทั้งสิ้น อีกทั้งห้ามมิให้ตัดแปลงเนื้อหาและต้องอ้างอิงถึงเจ้าของเอกสารทุกครั้งที่มีการนำไปใช้

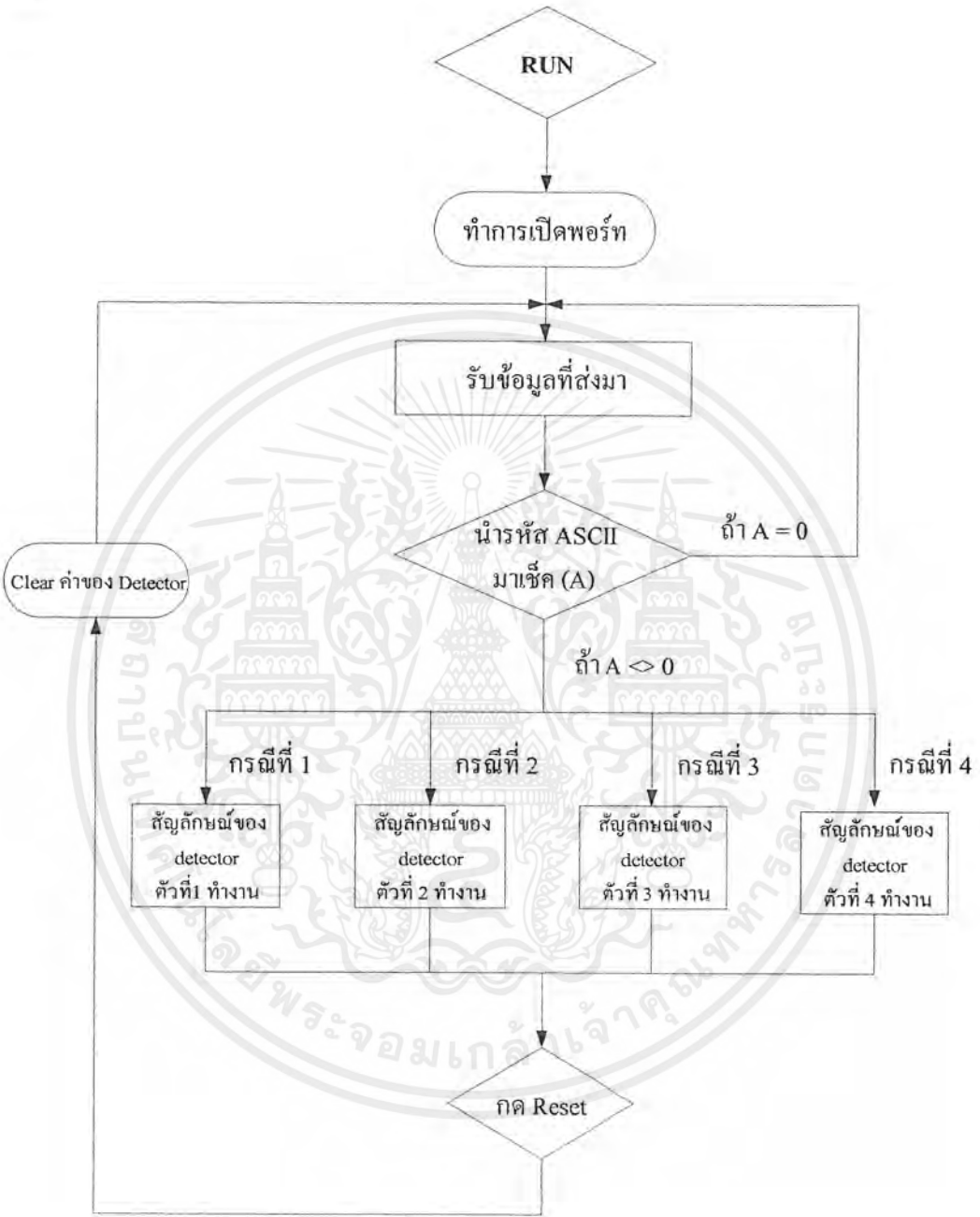


รูปที่ 3.11 วงจรอินเทอร์เฟส

เอกสารนี้เป็นเอกสารที่สงวนไว้สำหรับการใช้งานเพื่อการศึกษาเท่านั้น ไม่อนุญาตให้นำไปใช้ประโยชน์ด้านการค้า ไม่ว่าจะกรณีใดๆ ทั้งสิ้น อีกทั้งห้ามมิให้ดัดแปลงเนื้อหาและต้องอ้างอิงถึงเจ้าของเอกสารทุกครั้งที่มีการนำไปใช้

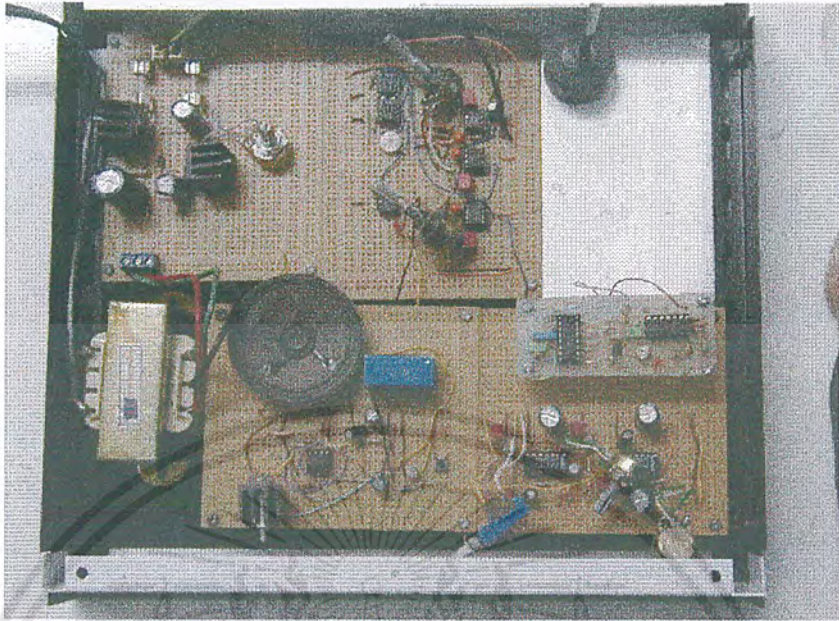
การออกแบบทางซอฟต์แวร์

โปรแกรมการทำงานในส่วนต่างๆ สามารถอธิบายให้เห็นได้ด้วยโฟลว์ ชार्ट (flow chart) ดังต่อไปนี้

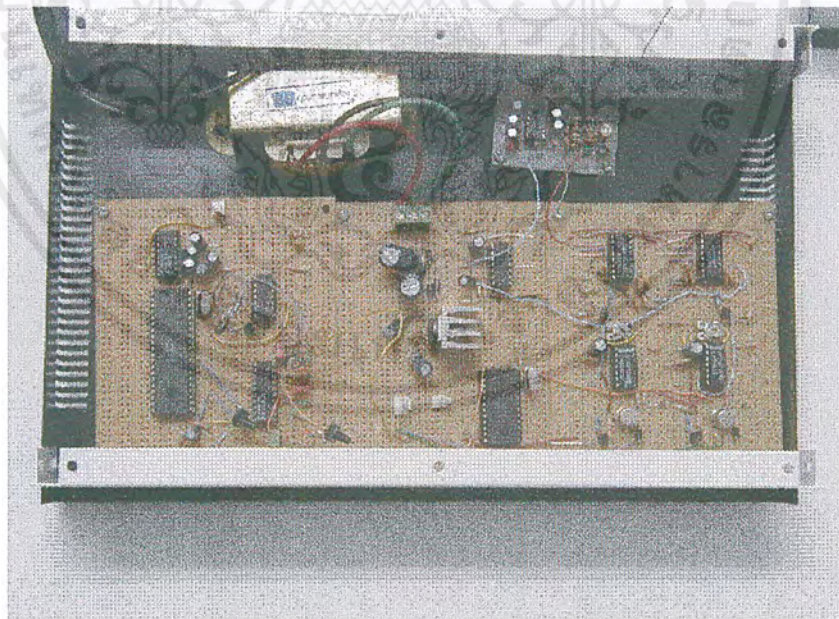


รูปที่ 3.12 โฟลว์ ชार्ट ของการทำงาน โปรแกรมมิชวลเบสิก

เอกสารนี้เป็นเอกสารที่สงวนไว้สำหรับการใช้งานเพื่อการศึกษาเท่านั้น ไม่อนุญาตให้นำไปใช้ประโยชน์ด้านการค้า ไม่ว่าจะกรณีใดๆ ทั้งสิ้น อีกทั้งห้ามมิให้ตัดแปลงเนื้อหาและต้องอ้างอิงถึงเจ้าของเอกสารทุกครั้งที่มีการนำไปใช้



รูปที่ 3.13 อุปกรณ์รวมของวงจรภาคส่ง



รูปที่ 3.14 อุปกรณ์รวมของวงจรภาครับ

เอกสารนี้เป็นเอกสารที่สงวนไว้สำหรับการใช้งานเพื่อการศึกษาเท่านั้น ไม่อนุญาตให้นำไปใช้ประโยชน์ด้านการค้า
ไม่ว่ากรณีใดๆ ทั้งสิ้น อีกทั้งห้ามมิให้ดัดแปลงเนื้อหาและต้องอ้างอิงถึงเจ้าของเอกสารทุกครั้งที่มีการนำไปใช้

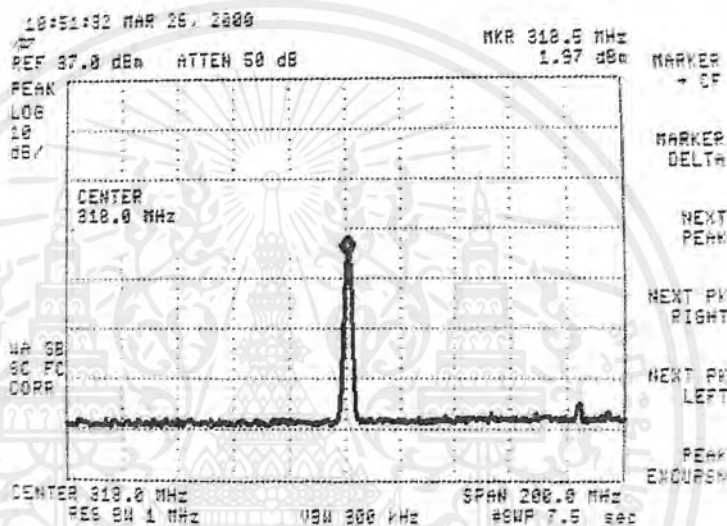
บทที่ 4

การทดลองและผลการทดลอง

ผลการทดลองจากการคำนวณและการสร้างในบทที่ 3 ได้แสดงเป็นลำดับขั้นดังนี้

4.1 ผลการทดลองของวงจรดีเทคเตอร์

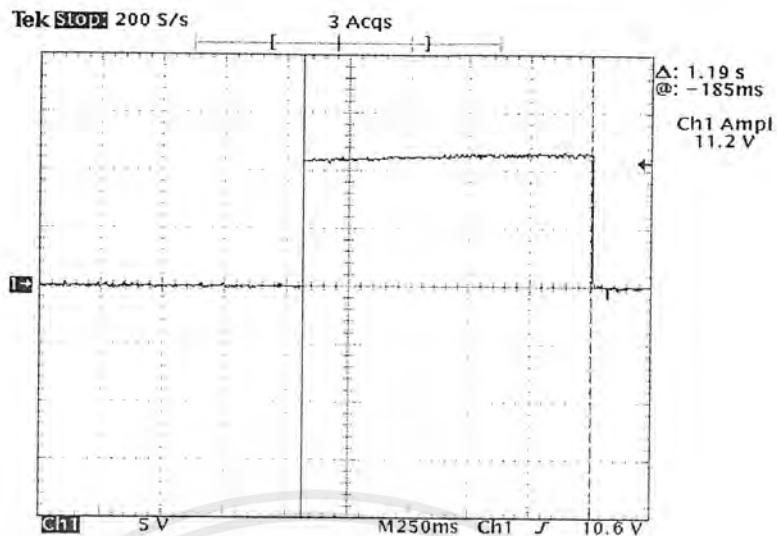
วงจรดีเทคเตอร์สร้างขึ้นจากวงจรยูเอชเอฟ ออสซิลเลเตอร์ กำเนิดความถี่ 300 เมกะเฮิร์ตซ์ ซึ่งได้ผลการทดลอง ดังรูป



รูปที่ 4.1 ความถี่ที่กำเนิดจากวงจรยูเอชเอฟ ออสซิลเลเตอร์

4.2 ผลการทดลองจากวงจรไทม์มิ่งและดีเลย์

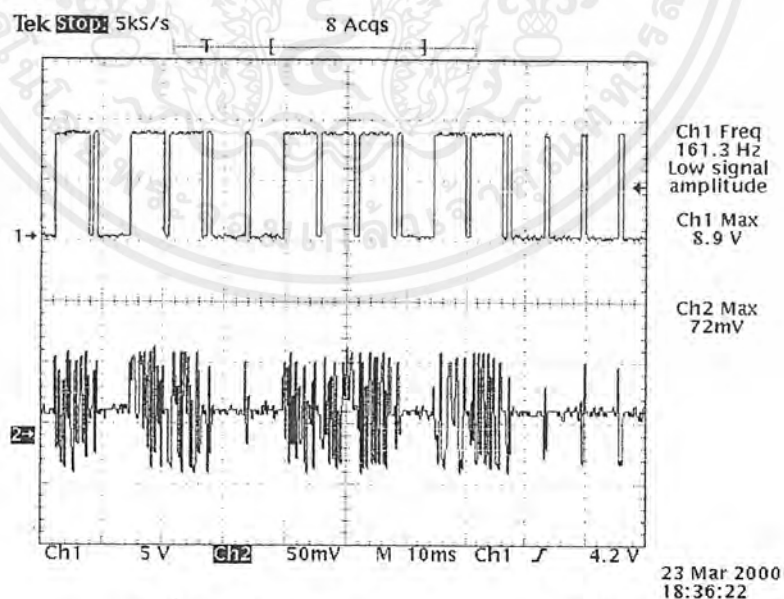
เมื่อวงจรดีเทคเตอร์ตรวจจับการเคลื่อนไหวได้ จะส่งสัญญาณไปยังวงจรขยาย สัญญาณที่ออก จากวงจรขยายจะถูกขับปลิงไฟสลับออกเหลือแต่ไฟตรงศูนย์โวลต์ และนำไปเข้าวงจรไทม์มิ่งและดีเลย์ ซึ่งสัญญาณที่ออกจากวงจรนี้จะนำไปใช้ทริกให้วงจรเข้ารหัสทำงาน และนำสัญญาณ high จากขาออกเลค เตอร์ของทรานส์ซิสเตอร์ BC109 ตัวที่ 1 ไปป้อนให้แก่วงจรกำเนิดเสียงเพื่อกำเนิดเสียงอีกด้วย ผลการ ทดลองของวงจรไทม์มิ่งและดีเลย์เมื่อวงจรดีเทคเตอร์ตรวจจับสัญญาณได้เป็นดังนี้



รูปที่ 4.2 ช่วงเวลาการเปลี่ยนสถานะจาก low เป็น high จากวงจรใหม่มีง
เมื่อวงจรดีเทคเตอร์สามารถตรวจจับสัญญาณได้

4.3 ผลการทดลองจากวงจรส่งสัญญาณไร้สายตัวที่ 1

สัญญาณ low จากขา 9 ของไอซี 556 ตัวแรกจะถูกนำไปใช้ป้อนให้แก่วงจรเข้ารหัสซึ่งใช้ไอซีเบอร์ MC145026 สัญญาณนี้นำไปทริกขา 14 ซึ่งเป็นขา TE (TRANSMITE ENABLE) ซึ่งจะทำให้ไอซีเบอร์ MC145026 สร้างรหัสแล้วส่งออกไปยังส่วนมอดูเลต แล้วส่งออกไปยังภาครับ ผลการทดลองจากวงจรส่งเป็นดังนี้



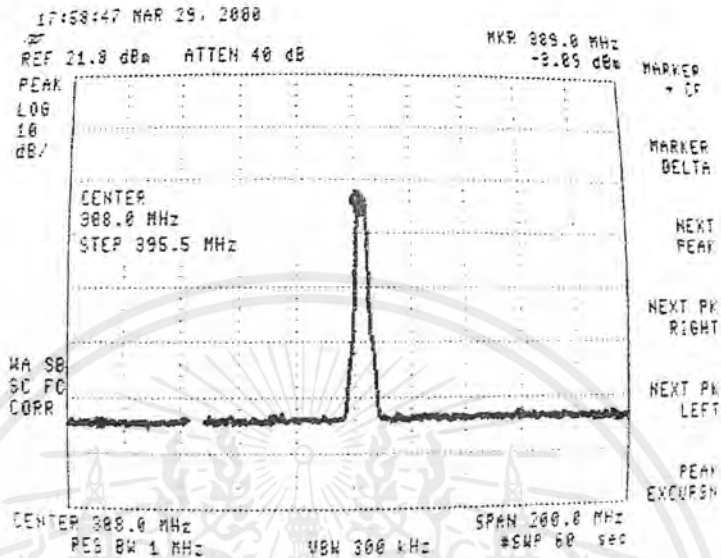
รูปที่ 4.3 ผลการทดลองจากส่วนมอดูเลตตัวที่ 1

CH1 คือ สัญญาณข้อมูลจากส่วนเข้ารหัสที่ 1

CH2 คือ สัญญาณที่ได้จากส่วนมอดูเลต

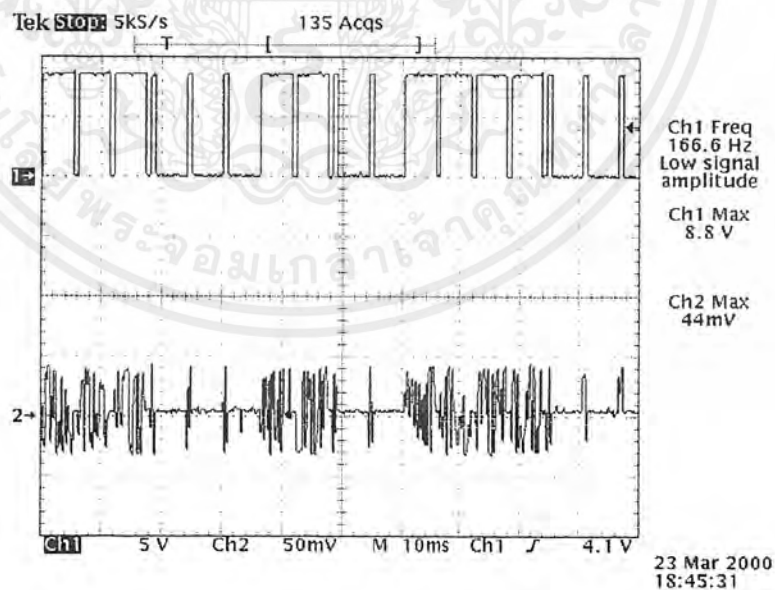
เอกสารนี้เป็นเอกสารที่สงวนไว้สำหรับการใช้งานเพื่อการศึกษาเท่านั้น ไม่อนุญาตให้นำไปใช้ประโยชน์ด้านการค้าไม่ว่ากรณีใดๆ ทั้งสิ้น อีกทั้งห้ามมิให้ตัดแปลงเนื้อหาและต้องอ้างอิงถึงเจ้าของเอกสารทุกครั้งที่มีการนำไปใช้

ซึ่งในการมอดูเลตสัญญาณเป็นแบบแอมพลิจูดิฟด์คีย์อิง (ASK) วงจรจะอออสซิลเลตคลื่นพาห้ความถี่ 389 เมกะเฮิรตซ์ เมื่อมีกระแสไบอัสที่ทรานซิสเตอร์ KSP10 สเปกตรัมของคลื่นพาห้ความถี่ 389 เมกะเฮิรตซ์ของวงจรส่งตัวที่ 1 เป็นดังนี้



รูปที่ 4.4 สเปกตรัมของคลื่นพาห้ความถี่ 389 เมกะเฮิรตซ์ ของวงจรส่งตัวที่ 1

4.4 ผลการทดลองจากวงจรส่งสัญญาณไร้สายตัวที่ 2



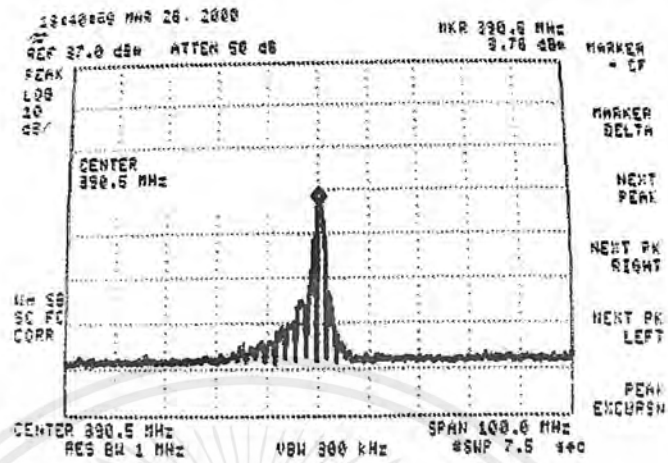
รูปที่ 4.5 ผลการทดลองจากส่วนมอดูเลตตัวที่ 2

CH1 คือ สัญญาณข้อมูลจากตัวเข้ารหัสตัวที่ 2

CH2 คือ สัญญาณที่ได้จากส่วนมอดูเลต

เอกสารนี้เป็นเอกสารที่สงวนไว้สำหรับการใช้งานเพื่อการศึกษาเท่านั้น ไม่อนุญาตให้นำไปใช้ประโยชน์ด้านการค้า ไม่ว่ากรณีใดๆ ทั้งสิ้น อีกทั้งห้ามมิให้ตัดแปลงเนื้อหาและต้องอ้างอิงถึงเจ้าของเอกสารทุกครั้งที่มีการนำไปใช้

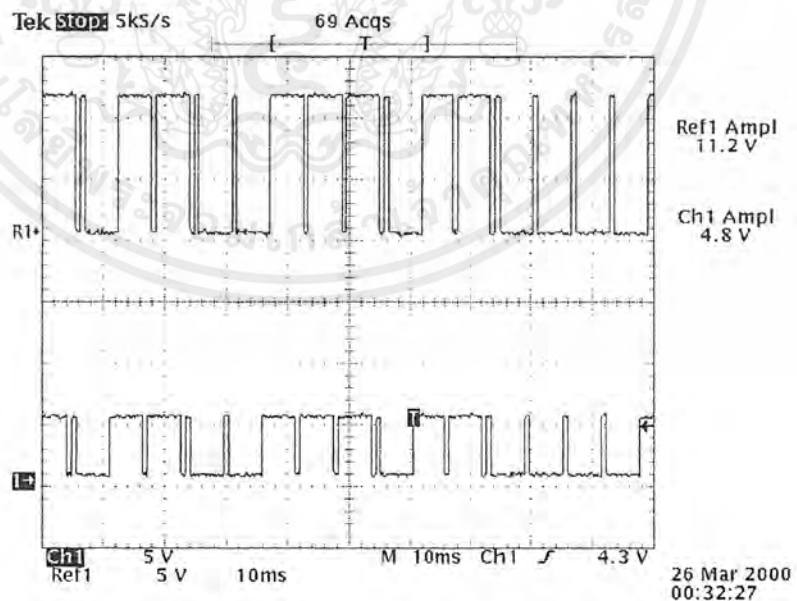
ซึ่งสเปกตรัมของคลื่นพาห้ความถี่ 389 เมกะเฮิร์ตซ์ของวงจรส่งตัวที่ 1 แสดงดังรูป



รูปที่ 4.6 แสดงสเปกตรัมของคลื่นพาห้ความถี่ 389 เมกะเฮิร์ตซ์ ของวงจรส่งตัวที่ 2

4.5 วงจรรับสัญญาณไร้สาย

เมื่อวงจรทางด้านรับรับสัญญาณจะดีเทคสัญญาณออกมาได้ แล้วผ่านวงจรขมิดส์ทริกเกอร์เพื่อให้เป็นสัญญาณพัลส์เหมือนเดิม แล้วนำไปผ่านวงจรถอดรหัสต่อไป ผลการทดลองจากเครื่องรับเป็นดังรูปที่ 4.7 และรูปที่ 4.8

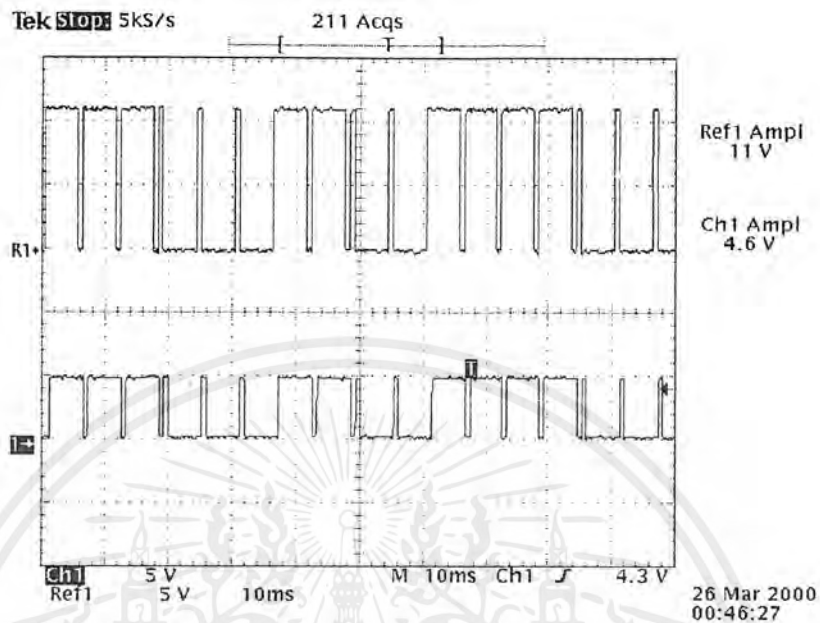


รูปที่ 4.7 ผลการทดลองจากวงจรรับสัญญาณจากเครื่องส่งที่ 1

เอกสารนี้เป็นเอกสารที่สงวนไว้สำหรับการใช้งานเพื่อการศึกษาเท่านั้น ไม่อนุญาตให้นำไปใช้ประโยชน์ด้านการค้า ไม่ว่าจะกรณีใดๆ ทั้งสิ้น อีกทั้งห้ามมิให้ตัดแปลงเนื้อหาและต้องอ้างอิงถึงเจ้าของเอกสารทุกครั้งที่มีการนำไปใช้

REF1 คือ สัญญาณข้อมูลที่ส่งมาจากตัวเข้ารหัสตัวที่ 1

CH1 คือ สัญญาณที่ตีเทคได้ทางเครื่องรับ



รูปที่ 4.8 ผลการทดลองจากวงจรรับสัญญาณจากเครื่องส่งที่ 2

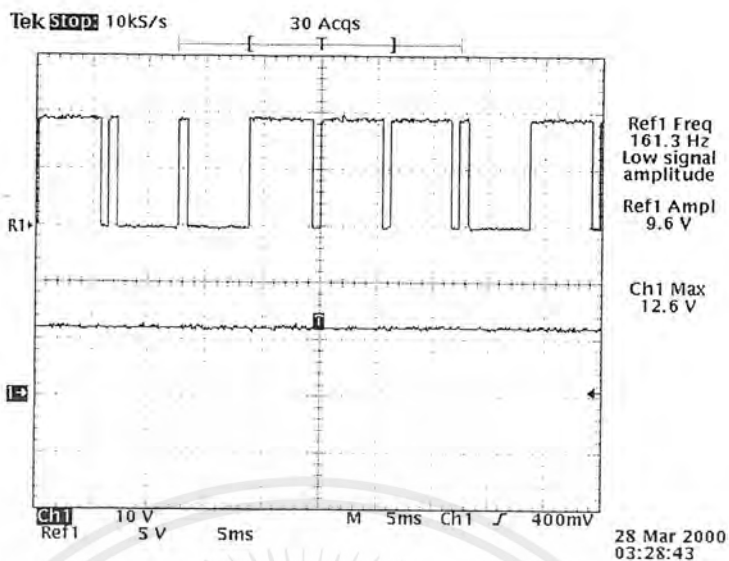
REF1 คือ สัญญาณข้อมูลที่ส่งมาจากตัวเข้ารหัสตัวที่ 2

CH1 คือ สัญญาณที่ตีเทคได้ทางเครื่องรับ

4.6 ผลการทดลองจากวงจรถอดรหัส

สัญญาณที่ตีเทคได้จากส่วนตีเทคสัญญาณจะนำมาถอดรหัสเพื่อให้ทราบว่ามีมาจากเครื่องส่งตัวที่เท่าไร ซึ่งใช้ไอซีถอดรหัสเบอร์ MC145027 ซึ่งถ้าสัญญาณจากเครื่องส่งตรงกับสัญญาณที่ได้จากตัวถอดรหัสเครื่องใด สัญญาณที่ออกมาจากขา 11 ซึ่งเป็นขา VT จะออกมาเป็น High ผลการทดลองจากวงจรถอดรหัสเป็นดังรูปที่ 4.9 และ 4.10

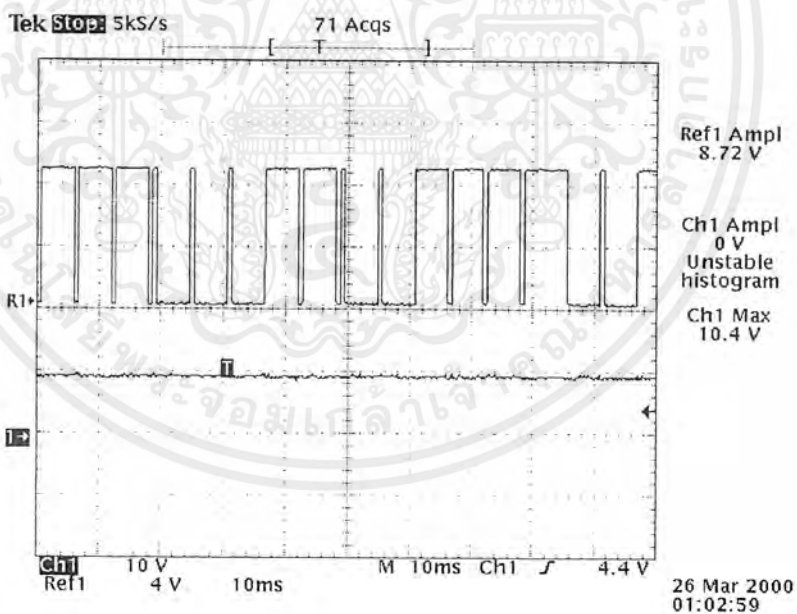
หลังจากนั้นนำสัญญาณเอาต์พุตที่ออกมาไปแปลงให้แรงดันลดลง เพื่อนำไปเข้าวงจรเอ/ค/คอนเวอร์เตอร์ ผลการทดลองแสดงดังรูปที่ 4.11 และ 4.12



รูปที่ 4.9 แสดงผลการทดลองจากวงจรทรานซิสเตอร์ที่ 1

REF1 คือ ข้อมูลที่ตีเทคได้ทางเครื่องรับ

CH1 คือ สัญญาณจากขา 11 ของไอซีทรานซิสเตอร์ 145027

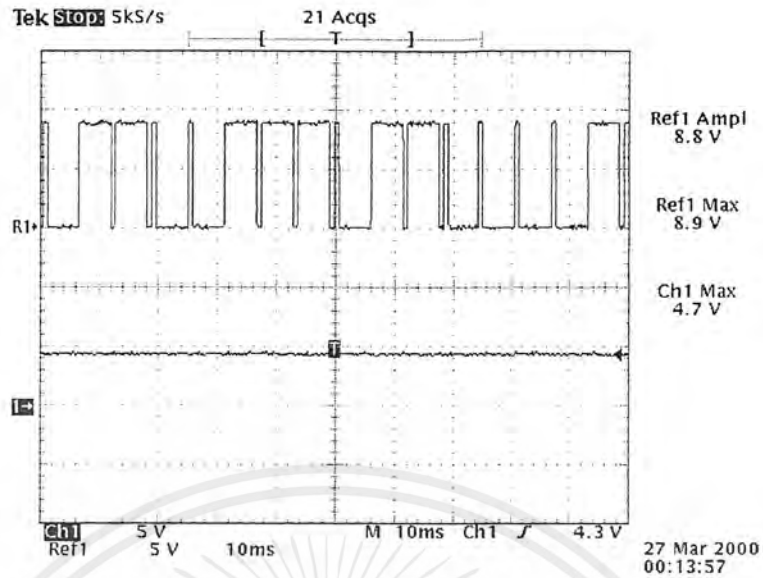


รูปที่ 4.10 ผลการทดลองจากวงจรทรานซิสเตอร์ที่ 2

REF1 คือ ข้อมูลที่ตีเทคได้ทางเครื่องรับ

CH1 คือ สัญญาณจากขา 11 ของไอซีทรานซิสเตอร์ 145027

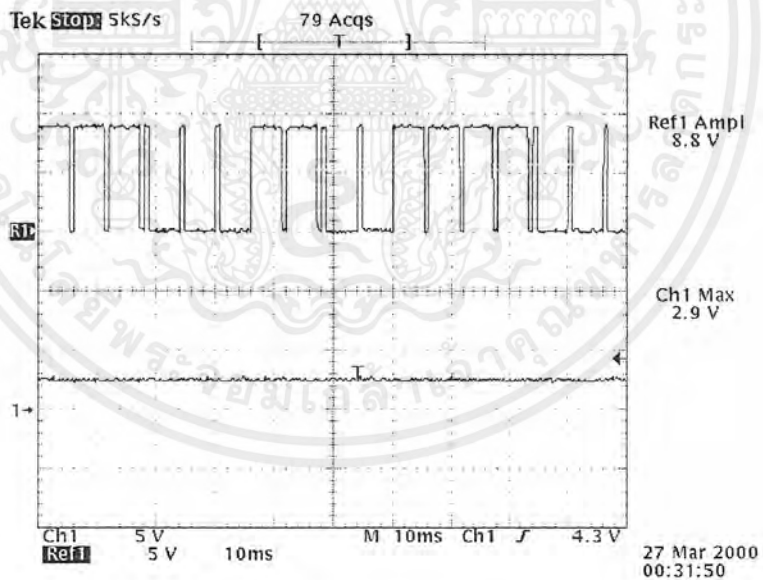
เอกสารนี้เป็นเอกสารที่สงวนไว้สำหรับการใช้งานเพื่อการศึกษาเท่านั้น ไม่อนุญาตให้นำไปใช้ประโยชน์ด้านการค้า
ไม่ว่ากรณีใดๆ ทั้งสิ้น อีกทั้งห้ามมิให้ตัดแปลงเนื้อหาและต้องอ้างอิงถึงเจ้าของเอกสารทุกครั้งที่มีการนำไปใช้



รูปที่ 4.11 ผลการทดลองจากวงจรแปลงสัญญาณลงตัวที่ 1

REF1 คือ สัญญาณรหัสที่ 1

CH1 คือ เอาต์พุตซึ่งเป็นแรงดัน 4.7 V



รูปที่ 4.12 ผลการทดลองจากวงจรแปลงสัญญาณลงตัวที่ 2

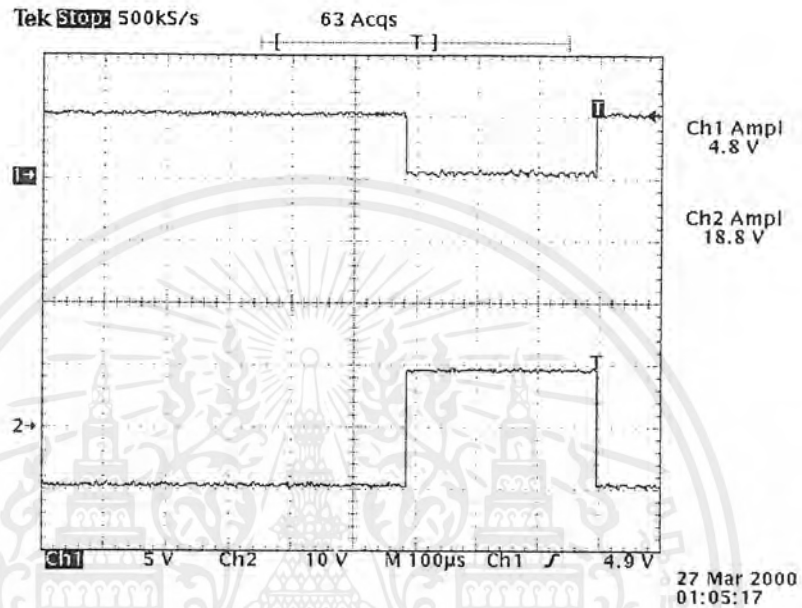
REF1 คือ สัญญาณรหัสที่ 2

CH1 คือ เอาต์พุตซึ่งเป็นแรงดัน 2.9 V

เอกสารนี้เป็นเอกสารที่สงวนไว้สำหรับการใช้งานเพื่อการศึกษาเท่านั้น ไม่อนุญาตให้นำไปใช้ประโยชน์ด้านการค้า
ไม่ว่ากรณีใดๆ ทั้งสิ้น อีกทั้งห้ามมิให้ตัดแปลงเนื้อหาและต้องอ้างอิงถึงเจ้าของเอกสารทุกครั้งที่มีการนำไปใช้

4.7 ผลการทดลองจากวงจรอินเทอร์เฟส

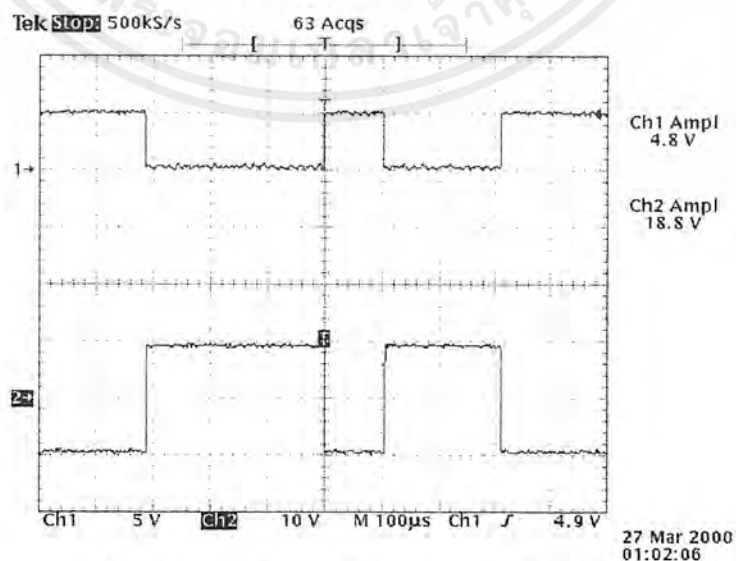
สัญญาณเอาต์พุตโวลต์เตจจากวงจรถ้า 4.7 และ 2.9 โวลต์ จะถูกแปลงเป็นสัญญาณดิจิทัลขนาด 8 บิต โดยผ่านไอซี ADC0804 และ ไอซี MCS8951 หลังจากนั้นจึงเปลี่ยนให้เป็นไปตามมาตรฐาน RS232 โดยไอซี MAX232 เพื่อติดต่อไปยังพอร์ตอนุกรมของพอร์ตคอมพิวเตอร์ต่อไป ผลการทดลองแสดงดังรูปที่ 4.13 และรูปที่ 4.14



รูปที่ 4.13 สัญญาณดิจิทัลจากวงจรอินเทอร์เฟส

CH1 คือ สัญญาณดิจิทัลจากการแปลงอนาลอกเป็นดิจิทัลของแรงดัน 4.7 โวลต์

CH2 คือ สัญญาณเปลี่ยนให้เป็นไปตามมาตรฐาน RS232

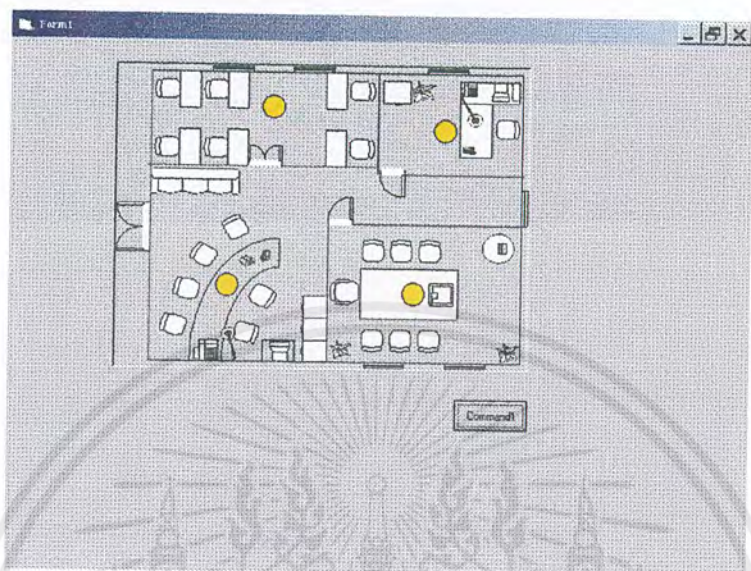


รูปที่ 4.14 แสดงสัญญาณดิจิทัลจากวงจรอินเทอร์เฟส

เอกสารนี้เป็นเอกสารที่สงวนไว้สำหรับการใช้งานเพื่อการศึกษาเท่านั้น ไม่อนุญาตให้นำไปใช้ประโยชน์ด้านการค้า ไม่ว่าจะกรณีใดๆ ทั้งสิ้น อีกทั้งห้ามมิให้ตัดแปลงเนื้อหาและต้องอ้างอิงถึงเจ้าของเอกสารทุกครั้งที่มีการนำไปใช้

CH1 คือ สัญญาณดิจิทัลจากการแปลงอนาลอกเป็นดิจิทัลของแรงดัน 2.9 โวลต์

CH2 คือ สัญญาณเปลี่ยนให้เป็นไปตามมาตรฐาน RS232



รูปที่ 4.15 ผลการทดลองจากโปรแกรมวิซวลเบสิก
ในกรณีที่ไม่สามารถตรวจจับการเคลื่อนไหวได้



รูปที่ 4.16 ผลการทดลองจากโปรแกรมวิซวลเบสิก
ในกรณีที่สามารถตรวจจับได้จากเครื่องส่งตัวที่ 1

เอกสารนี้เป็นเอกสารที่สงวนไว้สำหรับการใช้งานเพื่อการศึกษาเท่านั้น ไม่อนุญาตให้นำไปใช้ประโยชน์ด้านการค้า
ไม่ว่ากรณีใดๆ ทั้งสิ้น อีกทั้งห้ามมิให้ตัดแปลงเนื้อหาและต้องอ้างอิงถึงเจ้าของเอกสารทุกครั้งที่มีการนำไปใช้



รูปที่ 4.17 ผลการทดลองจาก โปรแกรมวิซวลเบสิก
ในกรณีที่สามารถตรวจจับได้จากเครื่องส่งตัวที่ 2

เอกสารนี้เป็นเอกสารที่สงวนไว้สำหรับการใช้งานเพื่อการศึกษาเท่านั้น ไม่อนุญาตให้นำไปใช้ประโยชน์ด้านการค้า
ไม่ว่ากรณีใดๆ ทั้งสิ้น อีกทั้งห้ามมิให้ตัดแปลงเนื้อหาและต้องอ้างอิงถึงเจ้าของเอกสารทุกครั้งที่มีการนำไปใช้

บทที่ 5

บทวิจารณ์และบทสรุป

จากโครงการชิ้นนี้จะเห็นได้ว่ามีประโยชน์ในด้านการรักษาความปลอดภัย ซึ่งสามารถระบุตำแหน่งที่ตรวจจับความเคลื่อนไหวได้ และส่งสัญญาณเสียงเตือนภัย ทำให้เราควบคุมสถานการณ์ได้อย่างทันท่วงที

ปัญหาที่พบ คือ เนื่องจากวงจรตรวจจับการเคลื่อนไหวเป็นวงจรความถี่สูง ซึ่งทำให้มีสัญญาณรบกวนได้ง่าย จึงทำให้ไม่สามารถตรวจจับได้ไกล เราจึงต้องเพิ่มวงจรขยายเข้าไป 3 สเตจเพื่อให้สามารถตรวจจับการเคลื่อนไหวได้ในระยะทางที่ไกลมากขึ้น นอกจากนี้เครื่องส่งสัญญาณที่ทำงานในย่านความถี่สูงในบางครั้งสามารถส่งสัญญาณได้ในระยะที่ไกลๆ แต่ในบางครั้งก็ไม่สามารถที่จะส่งในระยะทางไกลๆ ได้ อันเนื่องมาจากการเลี้ยวของความถี่ในภาคส่ง แต่ถ้าเป็นระยะทางไม่ไกลเราจะสามารถทำการควบคุมได้ค่อนข้างแม่นยำ

สำหรับแนวทางในการพัฒนานั้น เราสามารถเพิ่มเติมตัวตรวจจับวันเข้าไปในวงจรในส่วนของวงจรดีเทคเตอร์ เพื่อให้สามารถตรวจจับคลื่นไฟในกรณีที่เกิดเหตุเพลิงไหม้ และสามารถระบุตำแหน่งที่เกิดเหตุการณ์นี้ผ่านทางคอมพิวเตอร์โดยอาศัยการเขียนโปรแกรมเพิ่มเติมในส่วนของตัวตรวจจับวัน นอกจากนี้เรายังสามารถเขียนโปรแกรมเพื่อควบคุมการปิด-เปิดวาล์วน้ำในกรณีที่เกิดเพลิงไหม้ เพื่อเป็นการแก้ปัญหาเฉพาะหน้าได้อีกด้วย

หนังสืออ้างอิง

1. David R.smith , “**Digital Transmission Systems**” , Van Nostrand Reinhold Company Inc. , 1985.
2. Denton J. Daily , “**Operational Amplifiers and Linear Integrated Circuits Theory and Applications**” , McGraw – Hill International Editions , 1988.
3. บัณฑิต บัวภูเขา , “**ทฤษฎีและการออกแบบวงจรดิจิทัลเล่ม 2**” , กรุงเทพฯ , ฟิสิกส์เซ็นเตอร์ , 2533.
4. อภินันท์ มัญยานนท์ , “**การสื่อสารเส้นใยแสง**” , กรุงเทพฯ , คณะวิศวกรรมศาสตร์
สถาบันเทคโนโลยีพระจอมเกล้าเจ้าคุณทหารลาดกระบัง , 2540.



เอกสารนี้เป็นเอกสารที่สงวนไว้สำหรับการใช้งานเพื่อการศึกษาเท่านั้น ไม่อนุญาตให้นำไปใช้ประโยชน์ด้านการค้า
ไม่ว่ากรณีใดๆ ทั้งสิ้น อีกทั้งห้ามมิให้ตัดแปลงเนื้อหาและต้องอ้างอิงถึงเจ้าของเอกสารทุกครั้งที่มีการนำไปใช้